



$$\psi_k = \sum_{\mu} c_{\mu k} \chi_{\mu} \quad (\text{LCAO})$$

$$\hat{F} \varphi_i = \varepsilon_i \varphi_i$$

$$S_{\mu\nu} = \int \chi_{\mu}^{*}(\mathbf{r}) \chi_{\nu}(\mathbf{r}) d\mathbf{r}$$

С. М. Пономаренко

Квантово-механічні методи обчислення Використання PySCF

$$\left[-\frac{1}{2} \nabla_i^2 + \sum_{j \neq i} \frac{1}{r_{ij}} + V_{\text{nuc}}(i) \right] \varphi_i = \varepsilon_i \varphi_i$$
$$\Psi = \det \begin{pmatrix} \varphi_1(1) & \varphi_2(1) & \cdots & \varphi_N(1) \\ \vdots & \vdots & \ddots & \vdots \\ \varphi_1(N) & \varphi_2(N) & \cdots & \varphi_N(N) \end{pmatrix}$$

МІНІСТЕРСТВО ОСВІТИ І НАУКИ УКРАЇНИ
НАЦІОНАЛЬНИЙ ТЕХНІЧНИЙ УНІВЕРСИТЕТ УКРАЇНИ
«КІЇВСЬКИЙ ПОЛІТЕХНІЧНИЙ ІНСТИТУТ
імені ІГОРЯ СІКОРСЬКОГО»

С. М. Пономаренко

Квантово-механічні методи обчислення

Використання PySCF

*Рекомендовано Методичною радою КПІ ім. Ігоря Сікорського як
навчальний посібник для здобувачів ступеня магістра за спеціальностями
ЕБ «Прикладна фізика та наноматеріали»*

КІЇВ
КПІ ім. Ігоря Сікорського
2025

Зміст

| | |
|---|----------|
| Передмова | 4 |
| 1 Метод Хартрі-Фока | 9 |
| 1.1 Теоретичні основи методу Хартрі-Фока | 9 |
| 1.1.1 Рівняння Хартрі-Фока | 9 |
| 1.1.2 Енергія Хартрі-Фока | 9 |
| 1.1.3 Матриця густини та енергетичні складові | 10 |
| 1.1.4 Варіанти методу Хартрі-Фока | 11 |
| 1.2 Розрахунок атома Гідрогену | 12 |
| 1.2.1 Особливості одноелектронної системи | 12 |
| 1.2.2 Залежність від базисного набору | 13 |
| 1.2.3 Аналіз орбіталей | 14 |
| 1.2.4 Висновки | 16 |
| 1.3 Розрахунок атома Гелію | 16 |
| 1.3.1 Двоелектронна система | 16 |
| 1.3.2 Порівняння RHF та UHF | 17 |
| 1.3.3 Збуджені стани Гелію | 18 |
| 1.4 Атоми другого періоду (Li–Ne) | 19 |
| 1.4.1 Літій (Li, Z=3) | 19 |
| 1.4.2 Берилій (Be, Z=4) | 21 |
| 1.4.3 Бор–Неон: систематичне дослідження | 22 |
| 1.5 Аналіз енергій та орбіталей | 24 |
| 1.5.1 Енергетична діаграма орбіталей | 24 |
| 1.5.2 Енергії іонізації | 26 |
| 1.5.3 Електронна густина та її інтерпретація | 30 |
| 1.5.4 Порівняння електронних густин різних атомів | 34 |
| 1.5.5 Зв’язок із електронними оболонками | 34 |
| 1.5.6 Практичні завдання | 34 |
| 1.5.7 Методичні рекомендації | 35 |
| 1.6 Порівняння методів: RHF vs UHF vs ROHF | 35 |
| 1.6.1 Спінове забруднення | 36 |
| 1.6.2 Тестовий випадок: атом Вуглецю | 39 |
| 1.7 Складні випадки та збіжність | 41 |
| 1.7.1 Причини поганої збіжності | 42 |

| | | |
|-------------------|--|-----------|
| 1.7.2 | Перехідні метали | 42 |
| 1.7.3 | Вироджені орбіталі та дробові заповнення | 43 |
| 1.7.4 | Стратегія досягнення збіжності SCF | 44 |
| 1.8 | Практичні завдання | 46 |
| 1.8.1 | Завдання 1: Систематичне дослідження | 46 |
| 1.8.2 | Завдання 2: Енергії іонізації | 46 |
| 1.8.3 | Завдання 3: Спектроскопічні константи | 46 |
| 1.8.4 | Завдання 4: Залежність від базису | 47 |
| 1.9 | Резюме | 47 |
| 1.9.1 | Ключові висновки | 47 |
| 2 | Метод Хартрі-Фока для диатомних молекул | 48 |
| 2.1 | Чому саме H_2^+ та H_2 ? | 48 |
| 2.2 | Іон молекули водню H_2^+ | 48 |
| 2.2.1 | Теоретичні основи | 48 |
| 2.2.2 | Визначення молекули в PySCF | 48 |
| 2.2.3 | Крива потенційної енергії (PES) | 49 |
| 2.2.4 | Оптимізація геометрії | 52 |
| 2.2.5 | Аналіз молекулярних орбіталей | 54 |
| 2.2.6 | Вплив базисного набору | 56 |
| 2.3 | Молекула водню H_2 | 60 |
| 2.3.1 | Двоелектронна система | 60 |
| 2.3.2 | RHF розрахунок | 60 |
| 2.3.3 | Крива потенційної енергії | 62 |
| 2.4 | Проблема дисоціації в методі Хартрі-Фока | 66 |
| 2.4.1 | RHF: некоректна дисоціація | 66 |
| 2.4.2 | UHF: правильна дисоціація, але спінове забруднення | 67 |
| 2.4.3 | Візуалізація проблеми | 71 |
| 2.4.4 | Відсутність кореляції як джерело проблеми | 75 |
| 2.4.5 | Завдання 1: Порівняння базисів | 76 |
| 2.4.6 | Завдання 2: Спінове забруднення | 76 |
| 2.4.7 | Завдання 3: Інші диатомні молекули | 77 |
| 2.5 | Резюме | 77 |
| Література | | 78 |

Передмова

Цей методичний посібник є практичним введенням у квантово-хімічні розрахунки атомних систем з використанням програмного пакету PySCF (Python-based Simulations of Chemistry Framework). Посібник призначений для студентів хімічних, фізичних та матеріалознавчих спеціальностей, які вивчають квантову хімію, обчислювальну хімію та суміжні дисципліни.

Передумови

Для успішного опанування матеріалу посібника бажано мати:

Обов'язкові знання:

- Базові знання квантової механіки (хвильова функція, оператори, власні значення)
- Основи хімії (періодична система, електронні конфігурації, хімічний зв'язок)
- Елементарне програмування на Python (змінні, цикли, функції)
- Робота з командним рядком (термінал/консоль)

Бажано знати:

- Лінійну алгебру (матриці, власні вектори, діагоналізація)
- Основи чисельних методів
- Роботу з NumPy та Matplotlib
- Jupyter Notebook

Кожен розділ містить:

- Теоретичне пояснення методу
- Детальні приклади коду з коментарями
- Практичні завдання для самостійної роботи
- Контрольні запитання
- Посилання на додаткову літературу

Організація навчальних матеріалів

Всі коди, що наведені в посібнику, організовані в окремих папках відповідно до структури розділів:

```
pyscf_atomic_tutorial/
└── chapter_02/
    ├── 01_installation.py
    ├── 02_basic_structure.py
    └── examples/
└── chapter_03/
    ├── 01_mole_object.py
    ├── 02_basis_sets.py
    └── examples/
└── chapter_04/
    ├── 01_hf_hydrogen.py
    ├── 02_hf_helium.py
    ├── 03_second_period.py
    └── examples/
└── chapter_05/
    ├── 01_dft_basics.py
    ├── 02_functionals.py
    └── examples/
└── chapter_06/
    ├── 01_mp2.py
    ├── 02_ccsd.py
    ├── 03_casscf.py
    └── examples/
└── chapter_07/
    ├── 01_ionization_energies.py
    └── examples/
└── notebooks/
    ├── Chapter_02_Interactive.ipynb
    ├── Chapter_03_Interactive.ipynb
    ...
└── README.md
```

Робота з кодом

Код з посібника можна використовувати кількома способами:

- 1. Jupyter Notebook (рекомендовано для навчання)** Jupyter Notebook — інтерактивне середовище, ідеальне для навчання та експериментування:

```
# Встановлення Jupyter
pip install jupyter

# Запуск
cd pyscf_atomic_tutorial/notebooks
jupyter notebook
```

Переваги Jupyter:

- Виконання коду по частинах (комірками)
- Миттєвий перегляд результатів
- Збереження графіків безпосередньо в notebook
- Можливість додавати власні нотатки
- Легко ділитися з колегами

2. Окремі Python скрипти Всі приклади можна виконувати як звичайні Python скрипти:

```
# Виконання окремого скрипта
python chapter_04/01_hf_hydrogen.py

# Або з додатковими опціями
python -u chapter_04/02_hf_helium.py > output.log
```

Це зручно для:

- Автоматизації серії розрахунків
- Виконання на кластерах та серверах
- Інтеграції у власні pipeline

3. Інтерактивний Python (iPython) Для швидких тестів та експериментів:

```
ipython
>>> from pyscf import gto, scf
>>> mol = gto.M(atom='H 0 0 0', basis='sto-3g', spin=1)
>>> mf = scf.UHF(mol)
>>> mf.kernel()
```

4. IDE (PyCharm, VS Code, Spyder) Всі приклади сумісні з популярними IDE. Рекомендуємо налаштовувати:

- Автодоповнення для PySCF
- Відлагодження (debugging)
- Інтеграцію з Git для контролю версій

Вимоги до системи

Мінімальні вимоги:

- **ОС:** Linux, macOS, або Windows 10/11
- **Python:** версія 3.7 або новіша
- **Оперативна пам'ять:** 4 ГБ (8 ГБ рекомендовано)
- **Вільне місце:** 2 ГБ
- **Процесор:** будь-який сучасний (багатоядерний краще)

Рекомендовані вимоги:

- **Оперативна пам'ять:** 16+ ГБ
- **Процесор:** 4+ ядра
- **SSD:** для швидкого читання/запису великих файлів

Примітка: Складні розрахунки (CCSD, CASSCF для великих систем) можуть потребувати значних ресурсів. Для навчальних прикладів з посібника достатньо звичайного ноутбука.

Встановлення програмного забезпечення

Швидкий старт (Linux/macOS):

```
# Створення віртуального середовища (рекомендовано)
python3 -m venv pyscf_env
source pyscf_env/bin/activate

# Встановлення PySCF та залежностей
pip install --upgrade pip
pip install pyscf
pip install numpy scipy matplotlib jupyter

# Перевірка встановлення
python -c "import pyscf; print(pyscf.__version__)"
```

Швидкий старт (Windows):

```
# Створення віртуального середовища
python -m venv pyscf_env
pyscf_env\Scripts\activate

# Встановлення
pip install --upgrade pip
pip install pyscf numpy scipy matplotlib jupyter

# Перевірка
python -c "import pyscf; print(pyscf.__version__)"
```

Детальні інструкції з встановлення наведені в Розділі 2.

Як користуватися цим посібником

Для самостійного навчання:

1. **Читайте послідовно** — матеріал побудований від простого до складного
2. **Виконуйте всі приклади** — просте читання коду не замінить практики
3. **Експериментуйте** — змінюйте параметри, пробуйте інші атоми
4. **Виконуйте завдання** — вони закріплюють матеріал
5. **Веніть до складних місць** — деякі концепції потребують часу

Зворотний зв'язок

Ваші коментарі та пропозиції допоможуть покращити цей посібник!

Якщо ви знайшли:

- Помилки в коді або тексті
- Незрозумілі пояснення
- Теми, які потребують більш детального розгляду
- Інші проблеми
 Будь ласка, повідомте про це через:
- GitHub Issues (якщо матеріал на GitHub)
- Email викладачу/автору
- Форум курсу

Ліцензія та використання

Цей методичний посібник розповсюджується для освітніх цілей. Ви можете:

- Використовувати матеріали для навчання
- Модифікувати приклади коду для власних потреб
- Ділитися посібником з колегами та студентами

При використанні матеріалів просимо посилатися на цей посібник.

Бажаємо успіхів у вивченні квантової хімії!

С. М. Пономаренко
17 жовтня 2025 р.

1

Метод Хартрі-Фока

1.1. Теоретичні основи методу Хартрі-Фока

1.1.1. Рівняння Хартрі-Фока

Метод Хартрі-Фока (HF) є наближенним методом розв'язання рівняння Шредінгера для багатоелектронних систем. Основна ідея полягає у представленні багатоелектронної хвильової функції у вигляді єдиного детермінанта Слейтера:

$$\Psi(\mathbf{r}_1, \mathbf{r}_2, \dots, \mathbf{r}_N) = \frac{1}{\sqrt{N!}} \begin{vmatrix} \psi_1(\mathbf{r}_1) & \psi_2(\mathbf{r}_1) & \cdots & \psi_N(\mathbf{r}_1) \\ \psi_1(\mathbf{r}_2) & \psi_2(\mathbf{r}_2) & \cdots & \psi_N(\mathbf{r}_2) \\ \vdots & \vdots & \ddots & \vdots \\ \psi_1(\mathbf{r}_N) & \psi_2(\mathbf{r}_N) & \cdots & \psi_N(\mathbf{r}_N) \end{vmatrix} \quad (1.1)$$

де $\psi_i(\mathbf{r})$ — спін-орбіталі, які є добутком просторової частини та спінової функції.

Канонічні рівняння Хартрі-Фока мають вигляд:

$$\hat{f}\psi_i = \varepsilon_i\psi_i, \quad (1.2)$$

де \hat{f} — оператор Фока:

$$\hat{f} = \hat{h} + \sum_{j=1}^N (\hat{J}_j - \hat{K}_j), \quad (1.3)$$

Тут \hat{h} — одноелектронний оператор (кінетична енергія + притягання до ядра), \hat{J}_j — кулонівський оператор, \hat{K}_j — обмінний оператор.

1.1.2. Енергія Хартрі-Фока

Повна енергія системи у методі HF:

$$E_{HF} = \sum_{i=1}^N h_{ii} + \frac{1}{2} \sum_{i,j}^N (J_{ij} - K_{ij}) + V_{NN}, \quad (1.4)$$

де:

1. Метод Гартрі-Фока

- h_{ii} — одноелектронні інтеграли;
- J_{ij} — кулонівські інтеграли;
- K_{ij} — обмінні інтеграли;
- V_{NN} — енергія міжядерного відштовхування (для атомів $V_{NN} = 0$).

Віральне співвідношення. Для будь-якої стаціонарної хвильової функції (зокрема, у наближенні HF) повинно виконуватись **віральне співвідношення**:

$$2\langle T \rangle + \langle V \rangle = 0,$$

або еквівалентно:

$$\frac{\langle V \rangle}{\langle T \rangle} = -2.$$

Цей критерій є важливим тестом коректності збіжного SCF-розв'язку.

1.1.3. Матриця густини та енергетичні складові

Для практичної реалізації HF-методу у базисному представленні вводиться **матриця густини**:

$$D_{\mu\nu} = 2 \sum_i^{\text{occ}} C_{\mu i} C_{\nu i}, \quad (1.5)$$

де $C_{\mu i}$ — коефіцієнти розкладу i -ї молекулярної орбіталі за базисом атомних орбіталь, а множник 2 враховує заповнення двома спінами (для RHF).

Оператор середнього значення будь-якої одноелектронної величини \hat{O} можна записати у матричній формі:

$$\langle \hat{O} \rangle = \text{Tr}(D O), \quad (1.6)$$

що значно спрощує обчислення середніх значень у базисі атомних орбіталь.

Одноелектронний гамільтоніан:

$$h_{\mu\nu} = T_{\mu\nu} + V_{\mu\nu}^{\text{nuc}}, \quad (1.7)$$

де $T_{\mu\nu}$ — інтеграли кінетичної енергії, а $V_{\mu\nu}^{\text{nuc}}$ — інтеграли притягання електрона до ядра.

Матриця Фока визначається як:

$$F_{\mu\nu} = h_{\mu\nu} + \sum_{\lambda\sigma} D_{\lambda\sigma} \left[(\mu\nu|\lambda\sigma) - \frac{1}{2}(\mu\lambda|\nu\sigma) \right]. \quad (1.8)$$

Тоді загальна енергія Гартрі–Фока може бути записана компактно:

$$E_{\text{HF}} = \sum_{\mu\nu} D_{\mu\nu} \left(h_{\mu\nu} + \frac{1}{2} F_{\mu\nu} \right). \quad (1.9)$$

У розгорнутому вигляді можна виділити окремі внески:

$$\begin{aligned} E_{\text{kin}} &= \sum_{\mu\nu} D_{\mu\nu} T_{\mu\nu}, \\ E_{\text{nuc}} &= \sum_{\mu\nu} D_{\mu\nu} V_{\mu\nu}^{\text{nuc}}, \\ E_{\text{ee}} &= \frac{1}{2} \sum_{\mu\nu} D_{\mu\nu} (F_{\mu\nu} - h_{\mu\nu}), \end{aligned}$$

і, відповідно, повна енергія:

$$E_{\text{tot}} = E_{\text{kin}} + E_{\text{nuc}} + E_{\text{ee}} + V_{NN}.$$

Таким чином, матриця густини D є центральним об'єктом, що зберігає всю інформацію про одноелектронні властивості системи. У коді PySCF вона створюється викликом `dm = mf.make_rdm1()`, а середні значення обчислюються як добутки D на відповідні матриці інтегралів.

1.1.4. Варіанти методу Хартрі-Фока

Restricted Hartree-Fock (RHF)

RHF використовується для систем з замкненими оболонками, де всі електрони спарені:

$$\psi_i^\alpha(\mathbf{r}) = \psi_i^\beta(\mathbf{r}) = \varphi_i(\mathbf{r}) \quad (1.10)$$

Підходить для: He, Be, Ne, Mg, Ar, Ca, Zn (у синглетних станах).

Unrestricted Hartree-Fock (UHF)

UHF дозволяє різні просторові орбіталі для альфа та бета спінів:

$$\psi_i^\alpha(\mathbf{r}) \neq \psi_i^\beta(\mathbf{r}) \quad (1.11)$$

Підходить для: всіх відкритих систем (H, Li, B, C, N, O, F та їх іоні).

Restricted Open-shell Hartree-Fock (ROHF)

ROHF — компроміс між RHF та UHF. Спарені електрони описуються однаковими орбітальми, неспарені — різними:

$$\begin{cases} \psi_i^\alpha = \psi_i^\beta & \text{для спарених} \\ \psi_i^\alpha \neq \psi_i^\beta & \text{для неспарених} \end{cases} \quad (1.12)$$

1.2. Розрахунок атома Гідрогену

Атом Гідрогену є найпростішим квантовим об'єктом, який можна описати в рамках не лише хімії, а й фундаментальної квантової механіки. Його Гамільтоніан має вигляд:

$$\hat{H} = -\frac{1}{2}\nabla^2 - \frac{1}{r},$$

де $-\frac{1}{2}\nabla^2$ — оператор кінетичної енергії електрона, а $-\frac{1}{r}$ — потенціал кулонівської взаємодії між електроном і ядром. Ця система має аналітичне рішення, і енергія основного стану дорівнює

$$E_1 = -\frac{1}{2} \text{ Ha.}$$

Для атома Гідрогену це рішення можна отримати навіть чисельно в PySCF, що дозволяє перевірити точність обраного базисного набору та методів квантово-хімічних розрахунків.

1.2.1. Особливості одноелектронної системи

Атом Гідрогену є одноелектронною системою, тому метод Гартрі-Фока (HF) не містить жодних апроксимацій, окрім обмежень базисного набору. У звичайних багатоелектронних атомах HF наближає взаємодію електронів середнім потенціалом, але для H відсутнє електрон-електронне відштовхування, тож метод дає *точну* хвильову функцію для обраного базису.

code_1.py

```
from pyscf import gto, scf
import numpy as np

# Створення атома Гідрогену
mol = gto.M(
    atom="H 0 0 0", # координати ядра
    basis="sto-3g", # мінімальний базис
    spin=1, # один неспарений електрон
    verbose=4, # рівень деталізації виводу
)

print(f"Кількість електронів: {mol.nelectron}")
print(f"Базисних функцій: {mol.nao_nr()}")

# Розрахунок методом UHF (необмежений Гартрі-Фок)
mf = scf.UHF(mol)
energy = mf.kernel()

print(f"\nЕнергія H (STO-3G): {energy:.8f} Ha")
print(f"Енергія H (STO-3G): {energy * 27.211386:.6f} eV")

# Теоретичне значення
print(f"Теоретична енергія: -0.5 Ha")
print(f"Похибка базису: {abs(energy + 0.5):.6f} Ha")
```

Отримане значення енергії наближається до -0.5 На, але точність залежить від базису. STO-3G — це мінімальний базис, де кожна орбіталь апроксимується трьома гаусовими функціями, тому результат має невелику похибку (блізько 10^{-3} На).

1.2.2. Залежність від базисного набору

Базисний набір визначає якість апроксимації хвильової функції. Чим більший набір, тим біжче розрахована енергія до аналітичного результата. Для атома Гідрогену ця збіжність особливо показова, бо ми можемо порівняти з точним розв'язком.

У коді нижче порівнюються кілька популярних базисів, від найменшого STO-3G до розширених кореляційно-узгоджених наборів cc-pV5Z. Для кожного базису обчислюється енергія та похибка відносно -0.5 На.

code_2.py

```

from pyscf import gto, scf
import matplotlib.pyplot as plt

basis_sets = [
    "sto-3g",
    "3-21g",
    "6-31g",
    "6-311g",
    "cc-pvdz",
    "cc-pvtz",
    "cc-pvqz",
    "cc-pv5z",
]

energies = []
n_basis = []

print("Базис           N_bas     Енергія (На)     Похибка (mHa)")
print("-" * 60)

for basis in basis_sets:
    try:
        mol = gto.M(atom="H 0 0 0", basis=basis, spin=1, verbose=0)
        mf = scf.UHF(mol)
        e = mf.kernel()

        n = mol.nao_nr()
        error = (e + 0.5) * 1000 # похибка в міліГартрі

        energies.append(e)
        n_basis.append(n)

        print(f"{basis:15s} {n:3d}      {e:12.8f}      {error:8.4f}")
    except:
        print(f"{basis:15s} --- недоступний")

# Побудова графіка збіжності
plt.figure(figsize=(10, 6))
plt.plot(n_basis, energies, "o-", linewidth=2, markersize=8)
plt.axhline(y=-0.5, color="r", linestyle="--", label="Точне значення")
plt.xlabel("Кількість базисних функцій", fontsize=12)
plt.ylabel("Енергія (На)", fontsize=12)
plt.title("Збіжність енергії атома H від базисного набору", fontsize=14)

```

1. Метод Хартрі-Фока

```
plt.grid(True, alpha=0.3)
plt.legend()
plt.tight_layout()
plt.savefig("h_atom_basis_convergence.pdf")
plt.show()
```

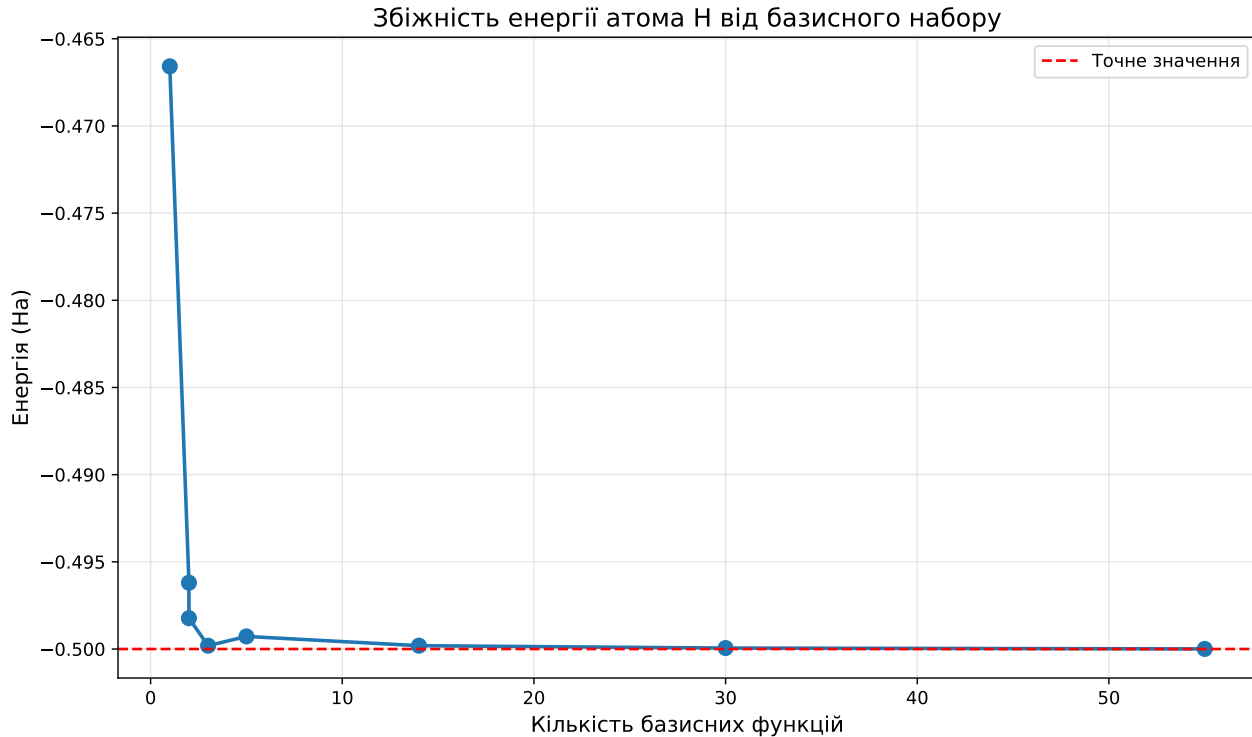


Рис. 1.1. Залежність енергії атома Н від вибору базису.

З графіка (рис. 1.1) видно, що зі збільшенням кількості базисних функцій енергія швидко наближається до точного значення -0.5 На. Набори типу cc-pVQZ або cc-pV5Z практично дають збіжність до повного базисного ліміту (CBS limit).

1.2.3. Аналіз орбіталей

Хоча в атома Гідрогену існує лише одна заповнена орбіталь (1s), PySCF дозволяє вивести енергетичні рівні для всіх функцій базису, а також дослідити матрицю густини. Цей підхід зручний для демонстрації структури HF-розрахунку.

```
code_3.py
from pyscf import gto, scf
import numpy as np

mol = gto.M(atom="H 0 0 0", basis="cc-pvtz", spin=1)
mf = scf.UHF(mol)
energy = mf.kernel()

# Орбітальні енергії
print("\nОрбітальні енергії (альфа-спін):")
```

```

print("_" * 50)
for i, (e, label) in enumerate(zip(mf.mo_energy[0], mol.ao_labels())):
    occ = "(occ)" if i < mol.nelec[0] else "(virt)"
    print(f"{i + 1:2d}. {label:20s}: {e:10.6f} Ha {occ}")

print(f"\nЕнергія 1s орбіталі: {mf.mo_energy[0][0]:.8f} Ha")
print(f"Теоретична енергія: -0.50000000 Ha")

# Матриця густини
dm = mf.make_rdm1()
print(f"\nМатриця густини (альфа): {dm[0].shape}")
print(f"Слід dm: {np.trace(dm[0]):.1f} (має дорівнювати 1)")

```

Виведення програми:

Орбітальні енергії (альфа-спін):

```

1. 0 H 1s      : -0.499810 Ha (occ)
2. 0 H 2s      : 0.025806 Ha (virt)
3. 0 H 3s      : 0.298457 Ha (virt)
4. 0 H 2px     : 0.298457 Ha (virt)
5. 0 H 2py     : 0.298457 Ha (virt)
6. 0 H 2pz     : 1.886323 Ha (virt)
7. 0 H 3px     : 2.824504 Ha (virt)
8. 0 H 3py     : 2.824504 Ha (virt)
9. 0 H 3pz     : 2.824504 Ha (virt)
10. 0 H 3dxy   : 2.824504 Ha (virt)
11. 0 H 3dyz   : 2.824504 Ha (virt)
12. 0 H 3dz^2  : 3.199249 Ha (virt)
13. 0 H 3dxz   : 3.199249 Ha (virt)
14. 0 H 3dx2-y2: 3.199249 Ha (virt)

```

Енергія 1s орбіталі: -0.49980981 Ha

Теоретична енергія: -0.50000000 Ha

Матриця густини (альфа): (14, 14)

Слід dm: 0.5 (має дорівнювати 1)

Матриця густини (dm) відображає заповнення орбіталей. Її слід має дорівнювати кількості електронів.

Коментар

Однак у даному випадку ми бачимо $\text{Tr}(dm) = 0.5$. Це не помилка: PySCF формує окремі матриці густини для альфа- та бета-спінів. Для одноконфігураційного стану з одним електроном (1s, альфа-спін) слід матриці густини $dm_\alpha = 0.5$, оскільки PySCF нормує хвильову функцію на повну густину $(\alpha + \beta)$, а не на окремий спін.

Отже,

$$\text{Tr}(dm_\alpha) + \text{Tr}(dm_\beta) = N_{\text{електронів}} = 1,$$

а тому

$$\text{Tr}(dm_\alpha) = 0.5, \quad \text{Tr}(dm_\beta) = 0.$$

Якщо обчислити повну густину через `mf.make_rdm1(mo, mo_occ, spin=None)`, то отримаємо правильне значення 1.

Проведені розрахунки є основою для подальшого аналізу електронної густини, побудови орбіталей і візуалізації електронної хмари.

1.2.4. Висновки

- Для атома Гідрогену метод Гартрі–Фока є **точним**, бо немає взаємодії між електронами.
- Основна похибка виникає через обмеження базисного набору.
- Зі збільшенням кількості базисних функцій енергія швидко збігається до точного значення -0.5 Ha .
- PySCF дозволяє досліджувати вплив базису, аналізувати орбіталі, матриці густини та підготовлює ґрунт для подальшого розгляду багатоелектронних систем.

1.3. Розрахунок атома Гелію

1.3.1. Двоелектронна система

Атом гелію є фундаментальним прикладом для демонстрації методів **Хартрі–Фока (HF)**. Два електрони гелію мають протилежні спіни й заповнюють одну й ту саму орбіталь $1s$, тому це *замкнена оболонка* зі спіном $S = 0$ (синглет, $M = 1$).

Після завершення SCF-розрахунку PySCF надає доступ до одноелектронних інтегралів (`int1e_kin`, `int1e_nuc`) та до двоелектронної частини (`get_veff`). Це дозволяє безпосередньо обчислити всі компоненти енергії та перевірити віральне співвідношення.

```
HeHF.py
from pyscf import gto, scf

# --- 1. Опис атома гелію ---
mol = gto.Mole()
mol.atom = 'He 0 0 0'
mol.basis = 'cc-pVTZ'
mol.build()

# --- 2. Розрахунок RHF ---
mf = scf.RHF(mol)
E_tot = mf.kernel()

# --- 3. Матриця густини та інтеграли ---
dm = mf.make_rdm1() # оператор кінетичної енергії
T_int = mol.intor('int1e_kin') # оператор потенціальної енергії ядро-електрон
V_nuc_int = mol.intor('int1e_nuc') # ефективний потенціал (Кулон + обмін)
vhf = mf.get_veff(mol, dm)

# --- 4. Енергетичні складові ---
E_kin = (dm * T_int).sum() # <T>
E_nuc = (dm * V_nuc_int).sum() # <V_nuc>
E_ee = 0.5 * (dm * vhf).sum() # <V_ee> (Кулон + обмін)
E_tot_check = E_kin + E_nuc + E_ee # перевірка

# --- 5. Віральне співвідношення ---
V_total = E_nuc + E_ee
virial_ratio = V_total / E_kin

# --- 6. Вивід у вигляді таблиці ---
```

```

print("\n" + "="*60)
print(" "*15 + "ЕНЕРГЕТИЧНИЙ АНАЛІЗ АТОМА He")
print("=".*60)
print(f"{'Компонента':<30} {'Значення (Ha)':>20}")
print("-"*60)
print(f"{'Кінетична енергія (T)':<30} {E_kin:>20.6f}")
print(f"{'Ядро-електрони (V_nuc)':<30} {E_nuc:>20.6f}")
print(f"{'Електрон-електрон (V_ee)':<30} {E_ee:>20.6f}")
print("-"*60)
print(f"{'Повна енергія (E_tot)':<30} {E_tot:>20.6f}")
print(f"{'Перевірка суми (E_sum)':<30} {E_tot_check:>20.6f}")
print("=".*60)
print(f"\n{'Віральне співвідношення':<30} {'V/T':>20}")
print("-"*60)
print(f"{'Розраховане значення':<30} {virial_ratio:>20.3f}")
print(f"{'Теоретичне значення':<30} {-2.000:>20.3f}")
print("=".*60 + "\n")

```

Коментар

Якщо розрахунок збіжний і фізично коректний, то відношення $\langle V \rangle / \langle T \rangle \approx -2.00 \pm 0.01$, що підтверджує виконання віральної теореми. Будь-яке суттєве відхилення (наприклад, -1.7 чи -2.3) свідчить про помилку збіжності або неадекватність базисного набору.

1.3.2. Порівняння RHF та UHF

Оскільки гелій має замкнену оболонку ($N_\alpha = N_\beta$), обидва методи — RHF і UHF — дають ідентичні результати. UHF дозволяє α та β орбіталям відрізнятися, але тут ця свобода не використовується.

code_5.py

```

from pyscf import gto, scf

mol = gto.M(atom="He 0 0 0", basis="6-31g", spin=0)

# RHF розрахунок
mf_rhf = scf.RHF(mol)
mf_rhf.verbose = 0
e_rhf = mf_rhf.kernel()

# UHF розрахунок
mf_uhf = scf.UHF(mol)
mf_uhf.verbose = 0
e_uhf = mf_uhf.kernel()

print(f"RHF енергія: {e_rhf:.10f} Ha")
print(f"UHF енергія: {e_uhf:.10f} Ha")
print(f"Різниця: {abs(e_rhf - e_uhf):.2e} Ha")

# Перевірка симетрії спіну
s2_uhf = mf_uhf.spin_square()
print(f"\n<S^2> (UHF): {s2_uhf[0]:.6f}")
print("<S^2> (точно): 0.000000")

```

Коментар

UHF може порушувати спінову симетрію (*spin contamination*), особливо для відкрито-оболонкових систем. Тут же $S^2 = 0$, тобто спінова симетрія зберігається, і RHF \equiv UHF.

1.3.3. Збуджені стани Гелію

У збуджених станах один електрон переходить на більш високий рівень (наприклад, $2s$), а система може існувати в двох спінових конфігураціях:

- **Синглет:** $S = 0$ — антисиметрична за спіном, симетрична за просторовою координатою.
- **Триплет:** $S = 1$ — симетрична за спіном, антисиметрична за просторовою частиною.

У PySCF ці стани можна моделювати за допомогою відповідного значення параметра `spin` та методу `RHF` для частково заповнених оболонок.

code_6.py

```

from pyscf import gto, scf

def he_excited_state(config="1s2s", spin=0, basis="cc-pvdz"):
    """
    Розрахунок збуджених станів He (¹S, ³S) з використанням MOM
    """
    mol = gto.M(atom="He 0 0 0", basis=basis, spin=spin)

    # RHF для синглету, UHF для триплету
    if spin == 0:
        mf = scf.RHF(mol)
    else:
        mf = scf.UHF(mol)

    mf.verbose = 0
    mf.kernel() # звичайний HF, щоб ініціалізуватись

    # MOM для стабілізації збудженого стану
    mom_solver = scf.addons.mom_occ(mf, mf.make_rdm1(), mf.mo_occ)
    mom_solver.verbose = 0
    mom_solver.max_cycle = 100
    e_exc = mom_solver.kernel()

    return e_exc

# Основний стан
mol_gs = gto.M(atom="He 0 0 0", basis="cc-pvdz", spin=0)
mf_gs = scf.RHF(mol_gs)
mf_gs.verbose = 0
e_gs = mf_gs.kernel()

print("Стани атома Гелію (cc-pVDZ):")
print("-" * 55)
print(f"1s² (¹S, основний): {e_gs:.6f} Ha = {e_gs * 27.2114:.2f} eV")

# Збуджені стани
for spin, label in [(0, "1s2s (¹S)"), (2, "1s2s (³S)")]:
    e_exc = he_excited_state(spin=spin)

```

```
print(f"{'label':15s}: {e_exc: .6f} На ({(e_exc - e_gs)*27.2114: .3f} eV вище основного}")

# Примітка: для збуджених станів
# краще використовувати методи типу TD-DFT або CASSCF
```

Коментар

Метод МОМ (Maximum Overlap Method) — це модифікація самозгодженої процедури HF, у якій вибір зайнятих орбіталей на кожній ітерації здійснюється не за найменшими енергіями, а за критерієм **максимального перекриття** з орбіталями попередньої ітерації:

$$O_{ij} = \left| \langle \varphi_i^{(n)} | \varphi_j^{(n-1)} \rangle \right|^2.$$

Таким чином, МОМ «закріплює» бажану орбітальну конфігурацію (наприклад, $1s2s$) і не дозволяє хвильовій функції сповзти назад до основного стану ($1s^2$), що часто трапляється у звичайному HF.

Попри те, що МОМ стабілізує збуджені конфігурації, він залишається однодетермінантним наближенням і не враховує електронної кореляції, тому не належить до post-HF методів. Отримані стани є лише самозгодженими розв'язками рівнянь HF, а не справжніми власними станами гамільтоніана. Для точного опису енергій і спектрів збудження слід застосовувати багатоконфігураційні або збурювальні підходи (CASSCF, CI, TD-DFT).

Підсумок:

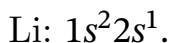
- Гелій — базовий тест для валідації HF-методу.
- Різниця між RHF і експериментом демонструє значення кореляційної енергії.
- Збуджені стани потребують спеціальних методів (МОМ, CASSCF, TD-DFT).

1.4. Атоми другого періоду (Li–Ne)

1.4.1. Літій (Li, Z=3)

Атом Літію — перший багатоелектронний атом, у якому проявляється неспарений електрон та спінова поляризація ($N_\alpha \neq N_\beta$, тобто густини ρ_α і ρ_β відрізняються).

Електронна конфігурація:



Два перші електрони утворюють замкнену оболонку ($1s$), а третій — одинокий у підоболонці $2s$, що зумовлює мультиплетність $2S$ (спін $S = \frac{1}{2}$).

Через наявність неспареного електрона метод UHF є природним вибором. UHF дозволяє альфа- та бета-орбіталям відрізнятися, тобто хвильова функція не змушена мати однакову просторову форму для різних спінів.

Альтернативою є метод ROHF (Restricted Open-Shell Hartree-Fock), у якому

1. Метод Хартрі-Фока

- усі замкнені орбіталі мають однакові просторові функції для α та β спінів;
- відкриті орбіталі (неспарені) можуть мати різну зайнятість, але однакову форму.

ROHF забезпечує правильне значення $\langle S^2 \rangle$ та зберігає спінову симетрію, проте формулювання рівнянь Фока є складнішим. UHF, навпаки, простіший у реалізації, але може призводити до *spin contamination*. У практиці обидва методи дають близькі енергії для атома Li, проте ROHF вважається формально більш коректним.

code_7.py

```
from pyscf import gto, scf

# --- 1. Визначення молекули ---
mol = gto.M(
    atom="Li 0 0 0",
    basis="cc-pvdz",
    spin=1,           # неспарений електрон (S=1/2)
    symmetry=True,
)

print("Літій (Li):")
print(" Конфігурація: [He] 2s1")
print(" Основний стан: 2S")
print(f" Електронів: {mol.nelectron}")
print()

# --- 2. UHF ---
uhf = scf.UHF(mol)
E_uhf = uhf.kernel()

print("== UHF ==")
print(f"Енергія Li (UHF): {E_uhf:.8f} Ha")
print(f"Енергія Li (UHF): {E_uhf * 27.211386:.4f} eV")

s2_uhf = uhf.spin_square()
print(f"<S2> = {s2_uhf[0]:.6f} (очікується 0.75)\n")

# --- 3. ROHF ---
rohf = scf.ROHF(mol)
E_rohf = rohf.kernel()

print("== ROHF ==")
print(f"Енергія Li (ROHF): {E_rohf:.8f} Ha")
print(f"Енергія Li (ROHF): {E_rohf * 27.211386:.4f} eV")

s2_rohf = rohf.spin_square()
print(f"<S2> = {s2_rohf[0]:.6f} (очікується 0.75)\n")

# --- 4. Порівняння ---
ΔE = (E_uhf - E_rohf) * 27.211386
print(f"Різниця (UHF - ROHF): {ΔE:.6f} eV")

# --- 5. Коментар ---
# UHF дозволяє різні орбіталі для  $\alpha$  і  $\beta$  спінів,
# тому виникає спінове забруднення ( $\langle S^2 \rangle > 0.75$ ).
# ROHF зберігає правильну спінову симетрію, але менш гнучкий варіаційно.
```

Коментар

- Значення $\langle S^2 \rangle \approx 0.75$ свідчить про правильний спіновий стан подвійності (мультиплетність $2S + 1 = 2$).
- Наявність різниці між енергіями альфа- та бета-орбіталей демонструє спінову асиметрію.
- Метод UHF може частково порушувати симетрію (так звана *spin contamination*), але для Li це незначно.

Енергія, отримана методом HF, для Li становить близько **-7.432** На у базисі cc-pVDZ, тоді як експериментальна енергія основного стану (повна) — близько **-7.478** На. Таким чином, кореляційна похибка становить близько **0.046** На (приблизно 1.25 eV).

Цей приклад є першим, де проявляється *кореляція електронів*, яку HF не враховує. В подальших розділах буде показано, як методи MP2, CI та CC враховують ці ефекти.

1.4.2. Берилій (Be, Z=4)

Атом Берилію має електронну конфігурацію



Тут усі орбіталі парні, тому спінова поляризація відсутня, і зручно використовувати RHF (Restricted Hartree–Fock). Обидва електрони у підоболонці $2s$ мають протилежні спіни, тож система має мультиплетність $1S$ (синглетний стан).

code_8.py

```
from pyscf import gto, scf

# Be: [He] 2s2, основний стан 1S
mol = gto.M(
    atom="Be 0 0 0",
    basis="cc-pvtz",
    spin=0, # замкнена оболонка
    symmetry=True,
)

print("Берилій (Be):")
print(" Конфігурація: [He] 2s2")
print(" Основний стан: 1S")

# RHF розрахунок
mf = scf.RHF(mol)
energy = mf.kernel()

print(f"\nЕнергія Be: {energy:.8f} Ha")

# Порівняння з експериментом
exp_be = -14.6674 # Ha (експериментальна повна енергія)
print(f"Експериментальна: {exp_be:.4f} Ha")
print(f"Кореляційна енергія: {exp_be - energy:.4f} Ha")
```

Обговорення.

- Для Be HF-енергія виходить приблизно -14.573 На (у базисі cc-pVTZ), тоді як експериментальна — -14.667 На.
- Різниця близько 0.094 На (≈ 2.6 eV) — це **кореляційна енергія**, тобто внесок взаємодії електронів, не врахований у HF.
- У Берилія ефекти електронної кореляції вже досить значні, адже електрони в орбіталі $2s$ взаємодіють один з одним.
- Цей випадок є гарною ілюстрацією межі застосування методу Гартрі–Фока.

Висновки для атомів Li і Be.

- Li демонструє появу неспареного електрона і спінової поляризації (UHF необхідний).
- Be — перший приклад, де **електронна кореляція** дає помітну похибку енергії.
- PySCF дозволяє наочно дослідити вплив базису, спіну, симетрії та методів на точність енергії.

1.4.3. Бор–Неон: систематичне дослідження

Після розгляду окремих атомів Літію та Берилію доцільно перейти до систематичного аналізу всіх атомів другого періоду (від Бору до Неону). У цих атомах поступово заповнюється $2p$ -підрівень, і змінюється як спінова мультиплетність, так і форма електронної густини. Метод Гартрі–Фока дозволяє побачити, як змінюється енергія системи при збільшенні числа електронів, а також як проявляється спінова поляризація у відкритих оболонках.

Електронні конфігурації.

| | | |
|-----|------------------|-------|
| Li: | [He] $2s^1$ | 2S |
| Be: | [He] $2s^2$ | 1S |
| B: | [He] $2s^2 2p^1$ | 2P |
| C: | [He] $2s^2 2p^2$ | 3P |
| N: | [He] $2s^2 2p^3$ | 4S |
| O: | [He] $2s^2 2p^4$ | 3P |
| F: | [He] $2s^2 2p^5$ | 2P |
| Ne: | [He] $2s^2 2p^6$ | 1S |

Як видно, кількість неспарених електронів збільшується від Бору до Нітрогену, а потім зменшується до Неону, що зумовлює зміну спінового стану та мультиплетності.

Мета дослідження. Провести розрахунок енергій Гартрі–Фока для атомів другого періоду в однаковому базисі cc-pVDZ, оцінити правильність спінового стану (через $\langle S^2 \rangle$) та проаналізувати систематичні тенденції.

code_9.py

```

from pyscf import gto, scf
import numpy as np

# Дані про атоми другого періоду
atoms_data = [
    ("Li", 1, "2S", "[He] 2s1"),
    ("Be", 0, "1S", "[He] 2s2"),
    ("B", 1, "2P", "[He] 2s2 2p1"),
    ("C", 2, "3P", "[He] 2s2 2p2"),
    ("N", 3, "4S", "[He] 2s2 2p3"),
    ("O", 2, "3P", "[He] 2s2 2p4"),
    ("F", 1, "2P", "[He] 2s2 2p5"),
    ("Ne", 0, "1S", "[He] 2s2 2p6"),
]

basis = "cc-pvdz"
print(f"Розрахунок атомів 2-го періоду (базис: {basis})")
print("-" * 70)
print(f"{'Атом':4s} {'Спін':4s} {'Терм':4s} {'E(HF), Ha':15s} {'E(HF), eV':12s}")
print("-" * 70)

energies = {}

for symbol, spin, term, config in atoms_data:
    mol = gto.M(
        atom=f"{symbol} 0 0 0", basis=basis, spin=spin, symmetry=True, verbose=0
    )

    # Вибір методу SCF
    if spin == 0:
        mf = scf.RHF(mol)
    else:
        mf = scf.UHF(mol)

    mf.verbose = 0
    mf.conv_tol = 1e-10
    energy = mf.kernel()
    energies[symbol] = energy

    e_ev = energy * 27.211386
    print(f"{symbol:4s} {spin:4d} {term:4s} {energy:15.8f} {e_ev:12.2f}")

    # Додаткова інформація для відкритих оболонок
    if spin > 0:
        s2 = mf.spin_square()
        expected_s2 = spin * (spin + 2) / 4
        print(f"      <S^2> = {s2[0]:.4f} (очікується {expected_s2:.4f})")

print("-" * 70)

# Збереження результатів
np.savez("second_period_hf.npz", **energies)

```

Коментар

- Для кожного атома автоматично обирається тип SCF: RHF (для замкнених оболонок, $S = 0$) або UHF (для відкритих).
- Параметр `spin` у PySCF означає різницю між кількістю альфа- та бета-електронів: $\text{spin} = N_\alpha - N_\beta = 2S$.
- Розрахунок $\langle S^2 \rangle$ дозволяє перевірити правильність спінового стану. Для ідеального випадку значення має збігатися з теоретичним $S(S + 1)$.
- У файлі `second_period_hf.npz` зберігаються всі енергії для подальшого аналізу або побудови графіків.

Очікувані тенденції.

1. Повна енергія атома зменшується (стає більш негативною) із зростанням атомного номера Z .
2. Енергія спостерігає стрибки на межі заповнення оболонок: при переходах $\text{Be} \rightarrow \text{B}$, $\text{N} \rightarrow \text{O}$, $\text{F} \rightarrow \text{Ne}$.
3. Спінова мультиплетність відображає заповнення $2p$ -орбіталей згідно з **правилом Гунда** — максимальний спін у середині підоболонки (для N).
4. Значення $\langle S^2 \rangle$ для UHF повинні бути близькі до теоретичних, але можуть мати невеликі відхилення через *spin contamination*.

Фізичне узагальнення. Цей розрахунок демонструє фундаментальну властивість методу Гартрі–Фока: він добре описує загальну структуру енергетичних рівнів і тенденції в періодичній таблиці, але не враховує електронну кореляцію, через що абсолютні значення енергії мають систематичну похибку.

1.5. Аналіз енергій та орбіталей

1.5.1. Енергетична діаграма орбіталей

Енергетичні діаграми орбіталей є наочним способом представлення енергетичного спектру молекулярних орбіталей (МО), що виникають у результаті розв'язання рівнянь Гартрі–Фока.

```
code_11.py
from pyscf import gto, scf
import matplotlib.pyplot as plt

def plot_orbital_diagram(symbol, spin, basis="cc-pvdz"):
    """Побудова діаграми орбітальних енергій"""

    mol = gto.M(atom=f"{symbol} 0 0 0", basis=basis, spin=spin, verbose=0)

    if spin == 0:
        mf = scf.RHF(mol)
```

```

else:
    mf = scf.UHF(mol)

    mf.verbose = 0
    mf.kernel()

fig, ax = plt.subplots(figsize=(8, 10))

if spin == 0:
    # RHF: одна колонка орбіталей
    energies = mf.mo_energy * 27.211386 # eV
    n_occ = mol.nelec[0]

    for i, e in enumerate(energies[: n_occ + 5]):
        color = "blue" if i < n_occ else "red"
        label = mol.ao_labels()[i] if i < len(mol.ao_labels()) else ""
        ax.hlines(e, 0.2, 0.8, colors=color, linewidth=2)
        ax.text(0.85, e, f"{label}", fontsize=10, va="center")

    # Стрілки для електронів
    if i < n_occ:
        ax.arrow(
            0.35,
            e + 0.3,
            0,
            -0.25,
            head_width=0.05,
            head_length=0.1,
            fc="black",
            ec="black",
        )
        ax.arrow(
            0.65,
            e - 0.3,
            0,
            0.25,
            head_width=0.05,
            head_length=0.1,
            fc="black",
            ec="black",
        )
    )

else:
    # UHF: дві колонки (альфа та бета)
    e_alpha = mf.mo_energy[0] * 27.211386
    e_beta = mf.mo_energy[1] * 27.211386
    n_alpha, n_beta = mol.nelec

    # Альфа орбіталі
    for i, e in enumerate(e_alpha[: n_alpha + 3]):
        color = "blue" if i < n_alpha else "red"
        ax.hlines(e, 0.1, 0.4, colors=color, linewidth=2)
        if i < n_alpha:
            ax.arrow(
                0.25,
                e + 0.3,
                0,
                -0.25,
                head_width=0.04,
                head_length=0.1,
                fc="black",
                ec="black",
            )
    )

    # Бета орбіталі
    for i, e in enumerate(e_beta[: n_beta + 3]):
```

```

color = "blue" if i < n_beta else "red"
ax.hlines(e, 0.6, 0.9, colors=color, linewidth=2)
if i < n_beta:
    ax.arrow(
        0.75,
        e - 0.3,
        0,
        0.25,
        head_width=0.04,
        head_length=0.1,
        fc="black",
        ec="black",
    )

ax.text(0.25, min(e_alpha[:5]) - 2, "α", fontsize=14, ha="center")
ax.text(0.75, min(e_beta[:5]) - 2, "β", fontsize=14, ha="center")

ax.set_xlim(0, 1)
ax.set_ylabel("Енергія (eV)", fontsize=12)
ax.set_title(f"Діаграма орбіталей {symbol}", fontsize=14)
ax.set_xticks([])
ax.grid(True, alpha=0.3, axis="y")

plt.tight_layout()
plt.savefig(f"{symbol}_orbital_diagram.pdf")
plt.show()

# Приклади
plot_orbital_diagram("C", spin=2) # Вуглець
plot_orbital_diagram("Ne", spin=0) # Неон

```

1.5.2. Енергії іонізації

Іонізаційна енергія I є однією з фундаментальних характеристик атома, що визначає мінімальні енерговитрати на видалення одного електрона із нейтрального атома в основному стані:

$$I = E(A^+) - E(A),$$

де $E(A)$ — повна енергія нейтрального атома, а $E(A^+)$ — енергія його однозарядного катіона. Ця величина безпосередньо вимірюється експериментально (у електронвольтах) і є важливим тестом якості будь-якого квантовохімічного методу.

У межах методу Гартрі–Фока іонізаційна енергія може бути визначена двома способами.

Метод ΔSCF. Найбільш пряме обчислення полягає у незалежному знаходженні повних енергій нейтрального атома і катіона:

$$I_{\Delta\text{SCF}} = E(A^+) - E(A).$$

Такий підхід враховує релаксацію орбіталей після видалення електрона, тому дає точніші результати, ніж прості наближення.

Теорема Купманса. У межах наближення «заморожених орбіталей» (*frozen orbital approximation*) повна енергія системи вважається незмінною при видаленні одного електрона. У цьому випадку зміна енергії дорівнює орбітальній енергії найвищої зайнятої молекулярної орбіталі:

$$I_{\text{Koopmans}} \approx -\varepsilon_{\text{HOMO}}.$$

Це твердження відоме як **теорема Купманса**. Воно дозволяє оцінити енергії іонізації без повторного самозгодження, хоча і не враховує релаксаційні та кореляційні ефекти.

Порівняння підходів. Для легких атомів (Li, Be, B, C, N, O, F, Ne) метод Купманса правильно відтворює тенденцію зростання енергії іонізації уздовж періоду, але систематично недооцінює абсолютні значення. Метод ΔSCF наближається до експерименту краще, оскільки включає релаксацію орбіталей.

Приклад: атом Літію. Для Li (конфігурація $1s^2 2s^1$):

$$I_{\text{Koopmans}} = -\varepsilon_{2s}, \quad I_{\Delta\text{SCF}} = E(\text{Li}^+) - E(\text{Li}), \quad I_{\text{exp}} = 5.39 \text{ eV}.$$

Енергія Купманса дещо завищена, а результат ΔSCF близчий до експериментального, що демонструє вплив орбітальної релаксації.

KoopmansTheoremCheck.py

```

import numpy as np
import matplotlib.pyplot as plt
from pyscf import gto, scf

def test_koopmans_theorem(atoms_list, basis="cc-pvtz"):
    """
    Перевірка теореми Купманса:
    порівняння ΔSCF, -εHOMO та експериментальних іонізаційних енергій.
    """

    # Експериментальні значення (eV)
    exp_ie = {
        "Li": 5.39,
        "Be": 9.32,
        "B": 8.30,
        "C": 11.26,
        "N": 14.53,
        "O": 13.62,
        "F": 17.42,
        "Ne": 21.56,
    }

    print(f"\nПеревірка теореми Купманса (базис: {basis})")
    print("=" * 110)
    print(
        f"{'Атом':>6s} {'IE(ΔSCF)':>12s} {'-εHOMO':>12s} {'Різниця':>12s} "
        f"{'%ΔSCF→HOMO':>12s} {'Exp.':>10s} {'%ΔSCF→Exp':>12s} {'%HOMO→Exp':>12s}"
    )
    print("-" * 110)

```

```

results = {
    "atoms": [],
    "ie_scf": [],
    "ie_koop": [],
    "ie_exp": [],
    "diff_scf_koop": [],
    "diff_scf_exp": [],
    "diff_koop_exp": [],
}

for symbol, spin_n, spin_c in atoms_list:
    # Нейтральный атом
    mol = gto.M(atom=f"{symbol} 0 0 0", basis=basis, spin=spin_n, verbose=0)
    mf = scf.UHF(mol) if spin_n != 0 else scf.RHF(mol)
    mf.conv_tol = 1e-11
    e_neutral = mf.kernel()

    # HOMO энергия
    if spin_n == 0:
        n_occ = mol.nelectron // 2
        eps_homo = mf.mo_energy[n_occ - 1]
    else:
        n_alpha = mol.nelec[0]
        eps_homo = mf.mo_energy[0][n_alpha - 1]

    ie_koopmans = -eps_homo * 27.211386 # eV

    # Катион
    mol_cat = gto.M(atom=f"{symbol} 0 0 0", basis=basis, charge=1, spin=spin_c, verbose=0)
    mf_cat = scf.UHF(mol_cat) if spin_c != 0 else scf.RHF(mol_cat)
    mf_cat.conv_tol = 1e-11
    e_cation = mf_cat.kernel()

    ie_scf = (e_cation - e_neutral) * 27.211386 # eV

    # Порівняння
    diff_scf_koop = ie_koopmans - ie_scf
    diff_scf_koop_percent = abs(diff_scf_koop / ie_scf) * 100

    ie_exp = exp_ie.get(symbol, np.nan)
    diff_scf_exp_percent = abs((ie_scf - ie_exp) / ie_exp) * 100 if not np.isnan(ie_exp) else
        np.nan
    diff_koop_exp_percent = abs((ie_koopmans - ie_exp) / ie_exp) * 100 if not np.isnan(ie_exp) else
        np.nan

    print(
        f"\t{symbol:6s} {ie_scf:12.4f} {ie_koopmans:12.4f} {diff_scf_koop:12.4f} "
        f"\t{diff_scf_koop_percent:12.2f} {ie_exp:10.2f} "
        f"\t{diff_scf_exp_percent:12.2f} {diff_koop_exp_percent:12.2f}"
    )

    # Збереження
    results["atoms"].append(symbol)
    results["ie_scf"].append(ie_scf)
    results["ie_koop"].append(ie_koopmans)
    results["ie_exp"].append(ie_exp)
    results["diff_scf_koop"].append(diff_scf_koop)
    results["diff_scf_exp"].append(diff_scf_exp_percent)
    results["diff_koop_exp"].append(diff_koop_exp_percent)

print("=" * 110)

mean_diff = np.nanmean(np.abs(results["diff_scf_koop"]))
mean_err_scf = np.nanmean(results["diff_scf_exp"])

```

```

mean_err_koop = np.nanmean(results["diff_koop_exp"])

print(f"\nСередня |ΔSCF - Koopmans| різниця: {mean_diff:.3f} eV")
print(f"Середня похибка ΔSCF від експерименту: {mean_err_scf:.2f}%")
print(f"Середня похибка -εHOMO від експерименту: {mean_err_koop:.2f}%")

# --- Графік ---
fig, ax = plt.subplots(figsize=(10, 6))
x = np.arange(len(results["atoms"]))
width = 0.25

ax.bar(x - width, results["ie_exp"], width, label="Експеримент", color="gray", alpha=0.6)
ax.bar(x, results["ie_scf"], width, label="IE (ΔSCF)", color="blue", alpha=0.7)
ax.bar(x + width, results["ie_koop"], width, label="-εHOMO", color="red", alpha=0.7)

ax.set_xlabel("Атом", fontsize=12)
ax.set_ylabel("Енергія іонізації (eV)", fontsize=12)
ax.set_title("Перевірка теореми Купманса", fontsize=14)
ax.set_xticks(x)
ax.set_xticklabels(results["atoms"])
ax.legend()
ax.grid(True, alpha=0.3, axis="y")

plt.tight_layout()
plt.savefig("koopmans_theorem_test.pdf")
plt.show()

return results

# --- Тестування ---
atoms_test = [
    ("Li", 1, 0),
    ("Be", 0, 1),
    ("B", 1, 0),
    ("C", 2, 1),
    ("N", 3, 2),
    ("O", 2, 3),
    ("F", 1, 2),
    ("Ne", 0, 1),
]
]

results_koop = test_koopmans_theorem(atoms_test)

```

Коментар

Розрахунок виводить таблицю порівняння енергій іонізації ($-\varepsilon_{\text{HOMO}}$, ΔSCF , експеримент) для атомів другого періоду та відносну похибку у відсотках:

$$\delta = 100 \times \frac{I_{\text{calc}} - I_{\text{exp}}}{I_{\text{exp}}}.$$

Аналіз цих відхилень дозволяє оцінити якість базисного набору і межі застосовності теореми Купманса.

1.5.3. Електронна густинна та її інтерпретація

Розподіл електронної густини

Розподіл електронної густини $\rho(\mathbf{r})$ є однією з ключових величин у квантовій хімії. Саме ця функція визначає, де саме в просторі «перебувають» електрони атома або молекули, і, отже, пояснює більшість хімічних і спектроскопічних властивостей системи.

Згідно з однодетермінантним наближенням Гартрі–Фока, електронна густинна визначається як

$$\rho(\mathbf{r}) = \sum_i^{\text{occ}} |\psi_i(\mathbf{r})|^2,$$

де $\psi_i(\mathbf{r})$ — орбіталі, а сума береться по всіх зайнятих орбіталях.

У програмному пакеті PySCF густинна може бути обчислена як на сітці, так і в окремих точках простору, що дозволяє візуалізувати просторовий розподіл електронів.

Обчислення густини вздовж осі z

У наведеному прикладі реалізовано функцію `plot_density_profile`, що обчислює електронну густину вздовж осі z для атома. Це дозволяє побудувати одноосний «профіль густини» та простежити, як електронна густинна спадає при віддаленні від ядра.

Дляожної точки z обчислюється матриця базисних функцій $\varphi_i(\mathbf{r})$, і далі густина:

$$\rho(\mathbf{r}) = \sum_{ij} \chi_i(\mathbf{r}) D_{ij} \chi_j(\mathbf{r}),$$

де D_{ij} — елементи матриці щільності.

Результат зображається графічно: густина $\rho(0, 0, z)$ як функція відстані від ядра. Для нейтральних атомів крива має різкий максимум біля ядра, який швидко спадає експоненціально.

code_12.py

```
from pyscf import gto, scf
from pyscf.tools import cubegen
import numpy as np
import matplotlib.pyplot as plt

def plot_density_profile(symbol, spin, basis="cc-pvdz"):
    """Радіальний розподіл густини"""

    mol = gto.M(atom=f"{symbol} 0 0 0", basis=basis, spin=spin, verbose=0)

    if spin == 0:
        mf = scf.RHF(mol)
    else:
        mf = scf.UHF(mol)

    mf.verbose = 0
```

```

mf.kernel()

# Розрахунок густини вздовж осі z
r_points = np.linspace(0, 5, 200) # Bohr
density = []

dm = mf.make_rdm1()

for r in r_points:
    coords = np.array([[0, 0, r]])
    rho = mol.eval_gto("GT0val_sph", coords)

    if spin == 0:
        dens = np.einsum("pi,ij,pj->p", rho, dm, rho)[0]
    else:
        dens_a = np.einsum("pi,ij,pj->p", rho, dm[0], rho)[0]
        dens_b = np.einsum("pi,ij,pj->p", rho, dm[1], rho)[0]
        dens = dens_a + dens_b

    density.append(dens)

# Побудова графіка
plt.figure(figsize=(10, 6))
plt.plot(r_points, density, linewidth=2)
plt.xlabel("Відстань від ядра (Bohr)", fontsize=12)
plt.ylabel("Електронна густина (e/Bohr3)", fontsize=12)
plt.title(f"Радіальний розподіл густини {symbol}", fontsize=14)
plt.grid(True, alpha=0.3)
plt.tight_layout()
plt.savefig(f"{symbol}_density.pdf")
plt.show()

return r_points, density

```

```
# Приклад
r, rho = plot_density_profile("Ne", spin=0)
```

Інтерпретація результатів. На побудованому графіку $\rho(0, 0, z)$ спостерігаються чіткі області локалізації електронів: внутрішні електрони формують центральний пік, тоді як зовнішні оболонки проявляються у вигляді плавних плечей. Для важчих атомів густина стає більш «зосередженою» біля ядра через сильніше притягання кулонівським потенціалом.

Практична порада. При виборі базисного набору (cc-pvdz, 6-31G**, тощо) слід мати на увазі, що форма профілю густини істотно залежить від якості базису: мінімальні базиси дають лише грубу картину, тоді як розширені базиси (cc-pVTZ) відтворюють експоненційний спад більш точно.

Сферично усереднена густина

Для атомів, що мають сферичну симетрію, зручно розглядати усереднену по всіх напрямах густину:

$$\rho(r) = \frac{1}{4\pi} \int \rho(\mathbf{r}) d\Omega,$$

1. Метод Хартрі-Фока

де $r = |\mathbf{r}|$ та $d\Omega$ — елемент тілесного кута.

Ця функція показує, як змінюється густина лише від радіуса r , незалежно від напрямку, і є основою для побудови радіальної функції розподілу

$$P(r) = 4\pi r^2 \rho(r),$$

що описує, яка частка електронів перебуває у сферичному шарі товщини dr на відстані r від ядра.

code_13.py

```
from pyscf import gto, scf
import numpy as np
import matplotlib.pyplot as plt

def spherical_averaged_density(symbol, spin, basis="cc-pvdz"):
    """Сферично усереднена електронна густина"""

    mol = gto.M(atom=f"{symbol} 0 0 0", basis=basis, spin=spin, verbose=0)

    if spin == 0:
        mf = scf.RHF(mol)
    else:
        mf = scf.UHF(mol)

    mf.verbose = 0
    mf.kernel()

    dm = mf.make_rdm1()

    # Радіальні точки
    r_points = np.linspace(0.01, 8, 300)

    # Кути для інтегрування (метод Монте-Карло)
    n_angles = 100
    theta = np.random.uniform(0, np.pi, n_angles)
    phi = np.random.uniform(0, 2 * np.pi, n_angles)

    density_sph = []

    for r in r_points:
        rho_avg = 0

        for t, p in zip(theta, phi):
            x = r * np.sin(t) * np.cos(p)
            y = r * np.sin(t) * np.sin(p)
            z = r * np.cos(t)

            coords = np.array([[x, y, z]])
            ao_value = mol.eval_gto("GT0val_sph", coords)

            if spin == 0:
                rho_point = np.einsum("pi,ij,pj->p", ao_value, dm, ao_value)[0]
            else:
                rho_a = np.einsum("pi,ij,pj->p", ao_value, dm[0], ao_value)[0]
                rho_b = np.einsum("pi,ij,pj->p", ao_value, dm[1], ao_value)[0]
                rho_point = rho_a + rho_b

            rho_avg += rho_point

        rho_avg /= n_angles
        density_sph.append(rho_avg)
```

```

# Радіальна функція розподілу  $4\pi r^2 \rho(r)$ 
radial_dist = 4 * np.pi * r_points**2 * np.array(density_sph)

# Графіки
fig, (ax1, ax2) = plt.subplots(1, 2, figsize=(14, 5))

# Густини  $\rho(r)$ 
ax1.plot(r_points, density_sph, linewidth=2)
ax1.set_xlabel("r (Bohr)", fontsize=12)
ax1.set_ylabel("ρ(r) (e/Bohr3)", fontsize=12)
ax1.set_title(f"Електронна густина {symbol}", fontsize=14)
ax1.grid(True, alpha=0.3)
ax1.set_yscale("log")

# Радіальна функція розподілу
ax2.plot(r_points, radial_dist, linewidth=2, color="red")
ax2.set_xlabel("r (Bohr)", fontsize=12)
ax2.set_ylabel("4πr2ρ(r)", fontsize=12)
ax2.set_title(f"Радіальна функція розподілу {symbol}", fontsize=14)
ax2.grid(True, alpha=0.3)

plt.tight_layout()
plt.savefig(f"{symbol}_spherical_density.pdf")
plt.show()

# Перевірка нормування
dr = r_points[1] - r_points[0]
total_electrons = np.sum(radial_dist) * dr
print(f"\nІнтеграл 4πr2ρ(r)dr = {total_electrons:.2f}")
print(f"Очікується: {mol.nelectron} електронів")

return r_points, density_sph, radial_dist

# Приклади для різних атомів
r, rho, rdf = spherical_averaged_density("He", spin=0)
r, rho, rdf = spherical_averaged_density("C", spin=2)
r, rho, rdf = spherical_averaged_density("Ne", spin=0)

```

Методика обчислення. Для кожного радіуса r вибираються випадкові напрями (кутові координати θ, φ) за методом Монте-Карло. У цих напрямках обчислюється густини $\rho(x, y, z)$, після чого береться середнє значення:

$$\rho(r) \approx \frac{1}{N} \sum_{k=1}^N \rho(r, \theta_k, \varphi_k).$$

Цей підхід забезпечує добру точність навіть при невеликій кількості напрямів $N \sim 100$.

Радіальна функція розподілу. На другому графіку зображується $4\pi r^2 \rho(r)$ — це функція, інтеграл від якої по r дає повну кількість електронів:

$$\int_0^\infty 4\pi r^2 \rho(r) dr = N_e.$$

Таким чином, можна перевірити нормування хвильової функції та коректність чисельного інтегрування.

1. Метод Хартрі-Фока

Приклад інтерпретації. Для атома гелію максимум $4\pi r^2 \rho(r)$ спостерігається приблизно при $r \approx 0.3$ Bohr, що відповідає найбільш ймовірній відстані електрона від ядра у $1s$ -стані. Для вуглецю або неону виникають додаткові піки, пов'язані з електронами на $2s$ та $2p$ оболонках.

1.5.4. Порівняння електронних густин різних атомів

Ми розглянули, як отримати електронну густину $\rho(\mathbf{r})$ та сферично усереднену густину $\rho(r)$ для окремого атома. Однак для повного розуміння періодичних закономірностей важливо порівняти, як змінюється форма та протяжність електронної хмари при переході від легких до важчих елементів.

Фізична мотивація

Порівняння електронних густин дозволяє:

- побачити, як із зростанням атомного номера Z ядро сильніше притягує електрони;
- проаналізувати зміну розмірів атома та ефективного радіуса;
- виявити закономірності заповнення електронних оболонок;
- візуально оцінити зв'язок між структурою густини та положенням елемента в періодичній системі.

1.5.5. Зв'язок із електронними оболонками

Максимуми радіальної функції розподілу $4\pi r^2 \rho(r)$ відповідають областям найбільшої ймовірності перебування електронів певних орбіталей:

$$1s \rightarrow \text{перший максимум}, \quad 2s, 2p \rightarrow \text{другий максимум}, \\ 3s, 3p, 3d \rightarrow \text{третій тощо}.$$

Таким чином, форма $4\pi r^2 \rho(r)$ дає прямий зв'язок між результатами квантово-хімічних розрахунків і традиційною атомною структурою, знайомою студентам з курсу атомної фізики. Візуальний аналіз таких графіків (рис. 1.5.4) дозволяє простежити закономірності побудови періодичної системи Менделеєва з точки зору електронної густини.

1.5.6. Практичні завдання

1. Побудуйте на одному графіку $\rho(r)$ для Li, Na, K. Як змінюється радіус атома?
2. Знайдіть положення максимумів $4\pi r^2 \rho(r)$ для атомів He, Ne, Ar. До яких оболонок вони належать?
3. Порівняйте радіальні функції для атомів C і O. Як змінюється густина зовнішньої оболонки?

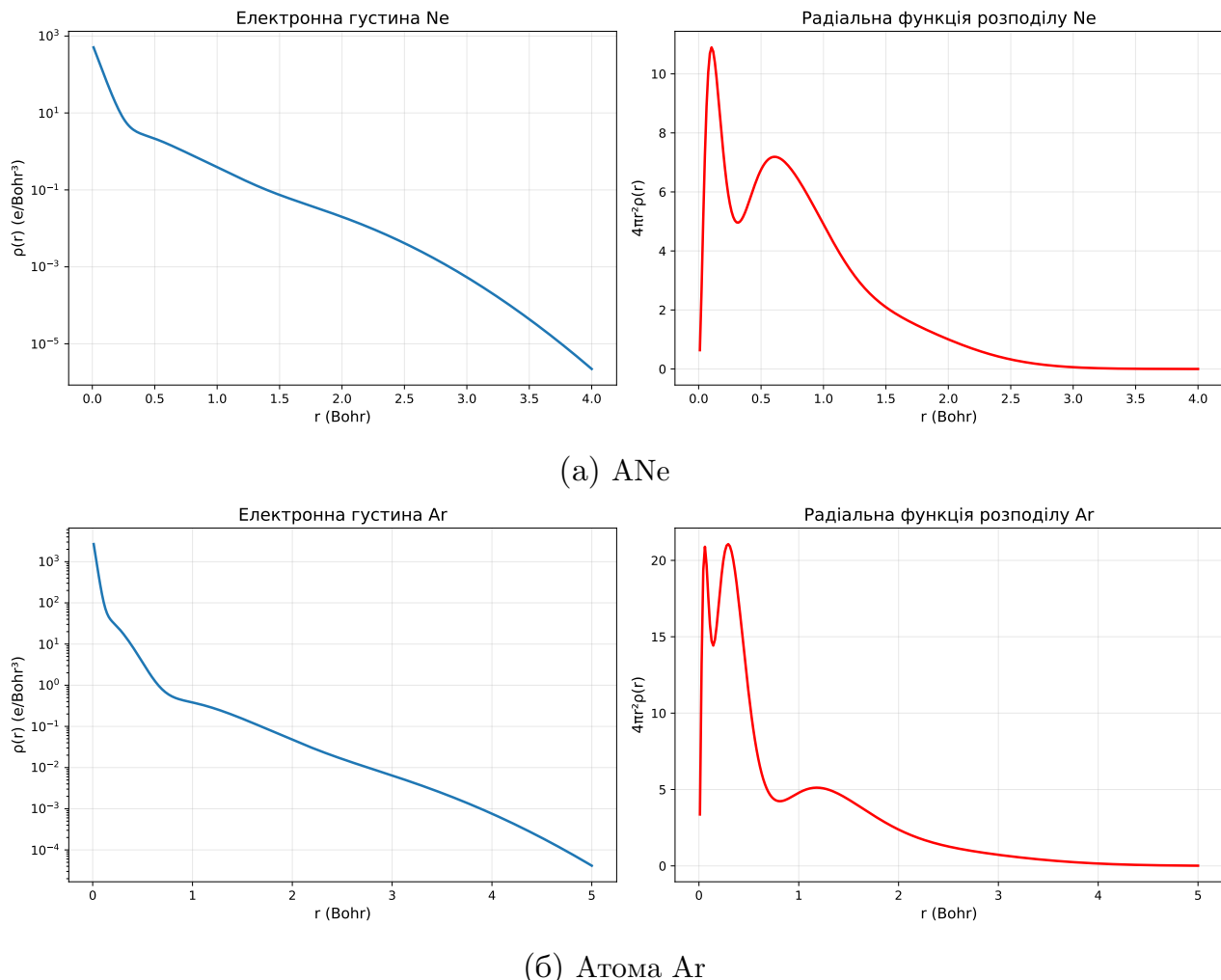


Рис. 1.2. Електронна густина $\rho(r)$ (ліворуч) та радіальна функція розподілу $4\pi r^2 \rho(r)$ (праворуч) для атомів Ne та Ar. На графіках радіальна функція розподілу чітко видно окремі максимуми, що відповідають електронним оболонкам. Для неону (Ne) спостерігаються два основних максимуми, які відповідають заповненим підоболонкам $1s^2$ і $2s^2 2p^6$, тоді як для аргону (Ar) — три максимуми, що відображають заповнення оболонок $1s^2$, $2s^2 2p^6$ та $3s^2 3p^6$.

1.5.7. Методичні рекомендації

1. Змінюючи базис (наприклад, STO-3G, 6-31G, cc-pVTZ), можна дослідити, як збільшується точність відтворення радіального профілю.
2. Для відкритих оболонок (атомів з неспареними електронами) потрібно враховувати спінову поляризацію — використовується UHF.

Таким чином, наведені приклади демонструють практичний зв'язок між теоретичними поняттями електронної густини і їх чисельною реалізацією в пакеті PySCF.

1.6. Порівняння методів: RHF vs UHF vs ROHF

У квантово-хімічних розрахунках вибір типу наближення Гартрі–Фока залежить від спінового стану системи. Методи RHF, UHF та ROHF відрізняються

1. Метод Хартрі-Фока

тим, як вони поводяться із спіновими функціями електронів — тобто, чи допускають різні орбіталі для α - і β -електронів.

- RHF (Restricted Hartree-Fock) — усі електрони спарені, кожна простирова орбіталь заповнена двома електронами з протилежними спінами. Підходить лише для синглетних закритих оболонок.
- UHF (Unrestricted Hartree-Fock) — орбіталі для α - і β -електронів дозволено різні. Цей метод придатний для відкритих оболонок (наприклад, атомів з неспареними електронами), однак може страждати від *спінового забруднення* (*spin contamination*).
- ROHF (Restricted Open-Shell Hartree-Fock) — компроміс: спільні орбіталі для парних електронів і різні — лише для неспарених. Це забезпечує правильний спіновий симетрійний стан без забруднення.

Енергетичне порівняння

UHF зазвичай дає трохи нижчу енергію, ніж ROHF, оскільки має більше варіаційної свободи. Різниця $\Delta E = E_{\text{UHF}} - E_{\text{ROHF}}$ зазвичай незначна (менше кількох міліГартрі), однак у системах з сильним спіновим змішуванням може бути суттєвою.

Орбітальні енергії

UHF формує два набори орбіталей — для α - і β -електронів. Тому орбітальні енергії можуть відрізнятись:

$$\varepsilon_i^{(\alpha)} \neq \varepsilon_i^{(\beta)}.$$

У ROHF усі парні орбіталі спільні, тож орбітальні енергії чітко впорядковані відповідно до симетрії та спіну.

1.6.1. Спінове забруднення

У системах з відкритими оболонками метод UHF часто використовується як простіше наближення, що дозволяє займати незалежні орбіталі електронам зі спінами α та β . Однак відсутність суворого обмеження на спінову симетрію призводить до важливого недоліку — **спінового забруднення**.

Математична суть явища

UHF-хвильова функція не є власним станом оператора \hat{S}^2 , хоч і залишається власним станом \hat{S}_z :

$$\hat{S}_z \Psi_{\text{UHF}} = M_S \Psi_{\text{UHF}}, \quad \hat{S}^2 \Psi_{\text{UHF}} \neq S(S+1) \Psi_{\text{UHF}}.$$

Отже, очікуване значення

$$\langle S^2 \rangle = \langle \Psi_{\text{UHF}} | \hat{S}^2 | \Psi_{\text{UHF}} \rangle$$

зазвичай перевищує істинне $S(S + 1)$, тобто:

$$\Delta S^2 = \langle S^2 \rangle - S(S + 1) > 0.$$

Фізичне тлумачення

UHF-хвильова функція може бути подана як суперпозиція чистих спінових станів:

$$\Psi_{\text{UHF}} = c_0 \Psi_S + c_1 \Psi_{S+1} + c_2 \Psi_{S+2} + \dots,$$

де присутність коефіцієнтів $c_i \neq 0$ для $i > 0$ означає змішування різних мультиплетів. Наприклад, для триплетного стану ($S = 1$) теоретичне значення $\langle S^2 \rangle = 2.0$, але якщо розрахунок UHF дає 2.25, це означає, що хвильова функція містить домішку п'ятиреченого ($S = 2$) стану.

Вплив на результати

- **Енергія.** UHF може давати занадто низьку енергію через змішування спінів і штучне зменшення кулонівського відштовхування.
- **Електронна густина.** Спінова густина стає несиметричною, особливо поблизу атомів з неспареними електронами.
- **Магнітні властивості.** Похибки у спіновій густині ведуть до помилкових магнітних моментів і спотворених мультиплетних розщеплень.

Як обчислюється спінове забруднення

Програми квантово-хімічних розрахунків (зокрема PySCF, Gaussian, ORCA) обчислюють спінове забруднення не безпосередньо через оператор \hat{S}^2 , а через перекриття між орбіталями спінів α і β .

Основна формула для середнього значення $\langle S^2 \rangle$ у наближенні UHF має вигляд:

$$\boxed{\langle S^2 \rangle = \frac{(N_\alpha - N_\beta)^2}{4} + \frac{N_\alpha + N_\beta}{2} - \sum_{i=1}^{N_\alpha} \sum_{j=1}^{N_\beta} |\langle \varphi_i^\alpha | \varphi_j^\beta \rangle|^2}$$

де:

- N_α, N_β — кількість електронів зі спінами α та β відповідно;
- $\varphi_i^\alpha, \varphi_j^\beta$ — молекулярні (атомні) орбіталі для спінів α і β ;
- $\langle \varphi_i^\alpha | \varphi_j^\beta \rangle$ — перекриття між орбіталями різних спінів.

Якщо орбіталі α і β однакові, тобто $\varphi_i^\alpha = \varphi_i^\beta$, то:

$$\langle S^2 \rangle = \frac{(N_\alpha - N_\beta)^2}{4},$$

і для синглету ($N_\alpha = N_\beta$) це дорівнює нулю — спінове забруднення відсутнє.

Інтерпретація

Якщо орбіталі α і β подібні, перекриття $S_{\alpha\beta}$ велике, тому Σ наближається до N_β , і $\langle S^2 \rangle$ близьке до теоретичного $S(S+1)$ — тобто забруднення мінімальне. Якщо ж орбіталі сильно відрізняються (наприклад, при розриві зв'язку або в радикалах), Σ зменшується, і $\langle S^2 \rangle$ зростає — з'являється суттєве спінове забруднення.

Діагностика та критерії

Значення $\langle S^2 \rangle$ зазвичай друкується у вихідних даних програми. Практичні межі:

$$\Delta S^2 = \langle S^2 \rangle - S(S + 1),$$

| | |
|----------------------------|--|
| $\Delta S^2 < 0.05$ | — незначне забруднення, прийнятно; |
| $0.05 < \Delta S^2 < 0.10$ | — помірне, бажано перевірити; |
| $\Delta S^2 > 0.10$ | — суттєве, слід перейти до ROHF або проекційних методів. |

Приклад чисельного розрахунку

Для системи з $N_\alpha = 5$, $N_\beta = 4$ (очікувано $S = \frac{1}{2}$, $\langle S^2 \rangle = 0.75$):

- якщо $\Sigma = 3.9$, тоді

$$\langle S^2 \rangle = \frac{1}{4} + \frac{9}{2} - 3.9 = 0.85,$$

$$\Delta S^2 = 0.85 - 0.75 = 0.10,$$

тобто забруднення перебуває на межі суттєвого;

- якщо $\Sigma = 3.4$, тоді

$$\langle S^2 \rangle = \frac{1}{4} + \frac{9}{2} - 3.4 = 1.35,$$

$$\Delta S^2 = 1.35 - 0.75 = 0.60,$$

що свідчить про сильне спінове забруднення.

Як зменшити спінове забруднення

1. **ROHF:** обмежена відкрита схема Гартрі–Фока, що зберігає спінову симетрію.
2. **Спін-проекційні методи:** після варіації застосовується оператор проекції

$$\Psi_{\text{proj}} = \hat{P}_S \Psi_{\text{UHF}},$$

який видаляє небажані компоненти.

3. **Методи після HF:** MP2, CISD, CCSD частково компенсують спінове забруднення через багатоконфігураційність.

1.6.2. Тестовий випадок: атом Вуглецю

Вуглець має конфігурацію $1s^2 2s^2 2p^2$ і основний стан 3P (триплет). Отже, система має два неспарені електрони ($S = 1$), а отже $\langle S^2 \rangle = S(S + 1) = 2.0$.

Далі наведено приклад прямого порівняння результатів методів UHF і ROHF для атома С у триплетному стані з використанням базису cc-pVTZ.

code_15.py

```

from pyscf import gto, scf

# Атом C: [He] 2s2 2p2, основний стан 3P
basis = "cc-pvtz"

print("Порівняння методів для атома Вуглецю (3P)")
print("=" * 70)

# Молекула
mol = gto.M(
    atom="C 0 0 0",
    basis=basis,
    spin=2, # Триплет
    symmetry=True,
    verbose=0,
)

# UHF
print("\n1. Unrestricted Hartree-Fock (UHF)")
print("-" * 70)
mf_uhf = scf.UHF(mol)
mf_uhf.verbose = 4
e_uhf = mf_uhf.kernel()

s2_uhf = mf_uhf.spin_square()
print(f"\nЕнергія (UHF): {e_uhf:.8f} Ha")
print(f"<S2> (UHF): {s2_uhf[0]:.6f} (очікується 2.0)")
print(f"Забруднення спіном: {s2_uhf[0] - 2.0:.6f}")

# ROHF
print("\n2. Restricted Open-shell Hartree-Fock (ROHF)")
print("-" * 70)
mf_rohf = scf.ROHF(mol)
mf_rohf.verbose = 4
e_rohf = mf_rohf.kernel()

s2_rohf = mf_rohf.spin_square()
print(f"\nЕнергія (ROHF): {e_rohf:.8f} Ha")
print(f"<S2> (ROHF): {s2_rohf[0]:.6f} (очікується 2.0)")

# Порівняння
print("\n" + "=" * 70)
print("ПОРІВНЯННЯ")
print("=" * 70)
print(f"ΔE (UHF-ROHF): {(e_uhf - e_rohf) * 1000:.4f} mHa")
print(f"ΔE (UHF-ROHF): {(e_uhf - e_rohf) * 627.509:.4f} kcal/mol")

print("\nЗабруднення спіном:")
print(f" UHF: {s2_uhf[0] - 2.0:.6f}")
print(f" ROHF: {s2_rohf[0] - 2.0:.6f}")

# Орбітальні енергії
print("\nОрбітальні енергії (Ha):")
print(f"{'Орбіталь':15s} {'UHF (α)':12s} {'UHF (β)':12s} {'ROHF':12s}")
print("-" * 70)

```

1. Метод Хартрі-Фока

```
n_show = 5
for i in range(n_show):
    label = mol.ao_labels()[i] if i < len(mol.ao_labels()) else f"MO{i + 1}"
    e_uhf_a = mf_uhf.mo_energy[0][i]
    e_uhf_b = mf_uhf.mo_energy[1][i]
    e_rohf_i = mf_rohf.mo_energy[i]

    print(f"{label:15s} {e_uhf_a:12.6f} {e_uhf_b:12.6f} {e_rohf_i:12.6f}")
```

Щоб узагальнити різницю між методами UHF та ROHF, виконаємо серію розрахунків для кількох відкритооболонкових атомів перших двох періодів. Це дозволить оцінити енергетичну різницю ΔE і побачити, чи зберігає ROHF спінову симетрію без втрати точності.

code_16.py

```
from pyscf import gto, scf

atoms_open_shell = [
    ("H", 1),
    ("Li", 1),
    ("B", 1),
    ("C", 2),
    ("N", 3),
    ("O", 2),
    ("F", 1),
]

basis = "6-31g*"

print(f"Порівняння UHF vs ROHF (базис: {basis})")
print("=" * 120)
print(f"{'Атом':4s} {'Спін':4s} {'E(UHF), Ha':15s} {'E(ROHF), Ha':15s} {'ΔE, mHa':10s}
    ↪ {'S2_UHF':10s} {'ΔS2':8s} {'Оцінка':40s}")
print("-" * 120)

for symbol, spin in atoms_open_shell:
    mol = gto.M(atom=f"{symbol} 0 0 0", basis=basis, spin=spin, verbose=0)

    # UHF
    mf_uhf = scf.UHF(mol)
    mf_uhf.conv_tol = 1e-10
    e_uhf = mf_uhf.kernel()

    # ROHF
    mf_rohf = scf.ROHF(mol)
    mf_rohf.conv_tol = 1e-10
    e_rohf = mf_rohf.kernel()

    # Спінові характеристики
    s2_uhf, s_uhf = mf_uhf.spin_square()
    s2_rohf, s_rohf = mf_rohf.spin_square()

    # Теоретичне значення  $S(S+1)$ 
    S = spin / 2
    S2_expected = S * (S + 1)

    delta_e = (e_uhf - e_rohf) * 1000  # mHa
    delta_s2 = s2_uhf - S2_expected

    # Класифікація за критеріями
    if delta_s2 < 0.05:
```

```

quality = "незначне забруднення, прийнятно"
elif delta_s2 < 0.10:
    quality = "помірне, бажано перевірити"
else:
    quality = "суттєве забруднення, бажано ROHF або проекційні методи"

print(f"{symbol:4s} {spin:4d} {e_uhf:15.8f} {e_rohf:15.8f} {delta_e:10.4f} {s2_uhf:10.4f}
      {delta_s2:8.4f} {quality:40s}")

print("=" * 120)
print("\nПримітка:")
print("UHF часто дає нижчу енергію, але може мати спінове забруднення ( $\Delta S^2$ ).")
print("ROHF зберігає спінову симетрію, але іноді трохи вищу енергію.")

```

Інтерпретація результатів. Як правило, для легких атомів (H, Li, B) енергії UHF і ROHF майже збігаються. Для атомів із більшою кількістю незапарених електронів (C, N, O, F) різниця у кілька мНа відображає більшу гнучкість UHF, що дозволяє частково знизити енергію ціною забруднення спіном ($\langle S^2 \rangle > S(S + 1)$).

Таким чином, ROHF — це більш строгий метод із правильною спіновою симетрією, а UHF — енергетично вигідніший, але менш «фізично чистий». У практичних обчисленнях ROHF часто слугує базовою точкою для подальших кореляційних методів (MP2, CCSD, CASSCF).

Практичне значення

Порівняння методів RHF, UHF і ROHF дозволяє студентам зрозуміти:

- коли можна використовувати RHF (синглети закритих оболонок);
- коли необхідно застосовувати UHF (відкриті оболонки, магнітні системи);
- у яких випадках варто віддати перевагу ROHF (спінова чистота, мінімізація забруднення).

Контрольне завдання

1. Повторіть розрахунок для атомів O (спін = 2) і N (спін = 3). Порівняйте $\langle S^2 \rangle$ для UHF і ROHF.
2. Для кожного атома побудуйте різницю енергій UHF–ROHF у мНа.
3. Проаналізуйте, як спінове забруднення зростає зі збільшенням кількості неспарених електронів.

1.7. Складні випадки та збіжність

Розрахунки у квантовій хімії не завжди проходять гладко. Навіть для простих систем ітераційна процедура самозгодженого поля (SCF) може не досягти стабільного рішення. Найчастіше проблеми збіжності виникають для перехідних металів, відкритих оболонок та систем із виродженими

1. Метод Хартрі-Фока

орбіталями. У цьому розділі розглянемо основні джерела труднощів та методи їх подолання.

1.7.1. Причини поганої збіжності

Типові джерела нестабільності SCF:

- сильна електронна кореляція у незаповнених d - і f -оболонках;
- мала різниця енергій між орбіталями (виродження);
- невдалий початковий вектор коефіцієнтів (погане стартове наближення);
- занадто жорсткі або занадто м'які критерії збіжності.

Через ці фактори енергія може осцилювати, DIIS — розходитись, а результат — бути нефізичним.

1.7.2. Перехідні метали

Перехідні елементи (Fe, Co, Ni, Cr, Mn тощо) — класичні приклади систем із поганою збіжністю SCF. Причини:

- близькість енергетичних рівнів $3d$ і $4s$ -орбіталей;
- можливість декількох спінових станів, близьких за енергією;
- наявність кількох локальних мінімумів функціоналу енергії.

У PySCF це проявляється як:

- осциляції енергії між ітераціями;
- розбігання DIIS;
- стрибки значення $\langle S^2 \rangle$ між кроками.

Нижче наведено приклад універсальної функції для стабільного розрахунку атомів перехідних металів із урахуванням практичних прийомів:

- використовується UHF (для врахування спіну);
- застосовується зсув рівнів (`level_shift`);
- розширюється DIIS-простір (`diis_space`);
- у разі потреби вмикається уточнення Ньютона–Рафсона;
- контролюється спін-забруднення через $\langle S^2 \rangle$.

code_18.py

```
from pyscf import gto, scf

def transition_metal_calculation(symbol, spin, basis="def2-svp"):
    """
    Розрахунок атома перехідного металу
    Часто потребує спеціальних налаштувань
    """

    print(f"\nРозрахунок {symbol} (2S={spin})")
    print("=" * 60)

    mol = gto.M(
        atom=f"{symbol} 0 0 0",
        basis=basis,
        spin=spin,
        symmetry=False, # Іноді краще без симетрії
        verbose=0,
```

```

)
mf = scf.UHF(mol)

# Налаштування для важких випадків
mf.conv_tol = 1e-8
mf.max_cycle = 200
mf.level_shift = 0.5 # Level shift допомагає конвергенції
mf.diis_space = 12
mf.init_guess = "atom"

print("Спроба 1: UHF з level shift...")
mf.verbose = 4
energy = mf.kernel()

if not mf.converged:
    print("\nНе конвергувало! Спроба 2: Newton-Raphson...")
    mf = mf.newton()
    mf.max_cycle = 50
    energy = mf.kernel()

if mf.converged:
    s2 = mf.spin_square()
    expected_s2 = spin * (spin + 2) / 4

    print(f"\nРезультати:")
    print(f" Енергія: {energy:.8f} Ha")
    print(f" <S^2>: {s2[0]:.4f} (очікується {expected_s2:.4f})")
    print(f" Забруднення: {s2[0] - expected_s2:.4f}")
else:
    print("\nНЕ ВДАЛОСЯ ДОСЯГТИ КОНВЕРГЕНЦІЇ!")

return mf, energy if mf.converged else None

```

```

# Приклади переходінних металів
# Sc: [Ar] 3d1 4s2, ^D
mf_sc, e_sc = transition_metal_calculation("Sc", spin=1)

# Ti: [Ar] 3d2 4s2, ^F
mf_ti, e_ti = transition_metal_calculation("Ti", spin=2)

# Cr: [Ar] 3d5 4s1, ^S
mf_cr, e_cr = transition_metal_calculation("Cr", spin=6)

# Mn: [Ar] 3d5 4s2, ^S
mf_mn, e_mn = transition_metal_calculation("Mn", spin=5)

# Fe: [Ar] 3d6 4s2, ^D
mf_fe, e_fe = transition_metal_calculation("Fe", spin=4)

```

Такий підхід забезпечує стабільність навіть для важких атомів, де стандартний SCF часто не сходиться.

1.7.3. Вироджені орбіталі та дробові заповнення

Якщо в системі наявні вироджені або майже вироджені орбіталі, SCF може “коливатись”, не вибираючи між ними. Для таких випадків ефективним є застосування дробових заповнень орбіталь (fractional occupations), що згладжують різницю між рівнями енергії.

1. Метод Хартрі-Фока

Ідея полягає у введенні ефективного теплового розмазування Фермі–Дірака:

$$f_i = \frac{1}{1 + e^{(\varepsilon_i - \mu)/kT}},$$

де f_i — часткове заповнення орбіталі i , ε_i — її енергія, μ — хімічний потенціал, а kT — параметр розмазування.

Цей підхід дозволяє SCF уникнути нестійких перестрибувань між виродженими рівнями.

У PySCF для цього достатньо викликати `scf.addons.frac_occ(mf)`. Методика добре працює для атомів (V, Cr), радикалів та малих кластерів перехідних металів.

```
code_19.py
from pyscf import gto, scf

# Важкий випадок: атом з близькими за енергією орбіталями
mol = gto.M(atom="V 0 0 0", basis="cc-pvdz", spin=3, verbose=0)

print("Розрахунок V з дробовими заповненнями")
print("=" * 60)

# Стандартний UHF може не конвергувати
mf = scf.UHF(mol)
mf.verbose = 0
mf.max_cycle = 100

try:
    energy = mf.kernel()
    if not mf.converged:
        raise RuntimeError("Не конвергувало")
except:
    print("Стандартний UHF не конвергував")

# Використання дробових заповнень (smearing)
print("\nСпроба з дробовими заповненнями...")

mf = scf.UHF(mol)
mf = scf.addons.frac_occ(mf)
mf.verbose = 4
energy = mf.kernel()

if mf.converged:
    print(f"\nУспішно! Енергія: {energy:.8f} Ha")
else:
    print("\nВсе одно не конвергувало")
```

1.7.4. Стратегія досягнення збіжності SCF

Для надійного отримання фізично коректного рішення рекомендується послідовна стратегія стабілізації SCF — від простих прийомів до складніших:

1. стандартний UHF;
2. зсув рівнів (`level_shift`);
3. збільшення DIIS-простору (`diis_space`);
4. атомне початкове наближення (`init_guess='atom'`);
5. уточнення за методом Ньютона–Рафсона;

6. дробові заповнення (`frac_occ`) для вироджених станів.

```
----- code_20.py -----
```

```

from pyscf import gto, scf

def convergence_strategies(symbol, spin, basis="def2-svp"):
    """
    Покрокова стабілізація SCF для складних систем
    """
    mol = gto.M(atom=f"{symbol} 0 0 0", basis=basis, spin=spin, verbose=0)

    strategies = [
        ("Стандартний UHF", {}),
        ("UHF з level shift", {"level_shift": 0.3}),
        ("UHF з більшим DIIS", {"diis_space": 15}),
        ("UHF з атомним guess", {"init_guess": "atom"}),
        ("Метод Ньютона-Рафсона", {"newton": True}),
        ("Дробові заповнення", {"frac_occ": True}),
    ]

    print(f"==> Тестування стратегій конвергенції для {symbol} ==>")

    for name, params in strategies:
        print(f"\n+ {name}")
        mf = scf.UHF(mol)
        mf.max_cycle = 100
        mf.conv_tol = 1e-9

        for k, v in params.items():
            if k in ("newton", "frac_occ"):
                continue
            setattr(mf, k, v)

        try:
            if params.get("newton"):
                mf = mf.newton()
            if params.get("frac_occ"):
                mf = scf.addons.frac_occ(mf)
            energy = mf.kernel()
            if mf.converged:
                print(f"! Успіх: E = {energy:.8f} Ha")
                return mf, energy
            else:
                print("! Не конвергувало")
        except Exception as e:
            print(f"! Помилка: {e}")
    print("\n! Жодна стратегія не спрацювала.")
    return None, None

# Приклад: перехідний метал
mf, e = convergence_strategies("Co", spin=3)

```

Фізичний зміст прийомів.

- **Level shift** — підвищує енергії віртуальних орбіталей, запобігаючи коливанням.
- **DIIS-простір** — збільшення пам'яті ітерацій покращує апроксимацію поля.
- **Atom guess** — старт з атомних орбіталей більчий до реального розв'язку.

1. Метод Хартрі-Фока

- **Newton–Raphson** — забезпечує квадратичну збіжність поблизу мінімуму.
- **Fractional occupations** — стабілізують вироджені стани, забезпечуючи плавний перехід.

Практичні рекомендації.

- Для великих систем на перших етапах можна зменшити точність: `conv_tol=1e-6`.
- Якщо енергія осцилює — увімкніть `level_shift=0.5`.
- Якщо UHF не сходить — використайте `init_guess='atom'` або вимкніть симетрію (`symmetry=False`).
- Завжди перевіряйте фізичність результату через $\langle S^2 \rangle$.

Таким чином, навіть якщо стандартна процедура SCF не збігається, поступове застосування описаних прийомів практично гарантує стабільне та фізично обґрунтоване рішення.

1.8. Практичні завдання

1.8.1. Завдання 1: Систематичне дослідження

code_21.py

```
"""
ЗАВДАННЯ 1: Розрахуйте енергії всіх атомів першого періоду
(Н, Не) з різними базисними наборами. Побудуйте графік
збіжності енергії до базисної межі.

Базиси: sto-3g, 6-31g, cc-pvdz, cc-pvtz, cc-pvqz, cc-pv5z
"""

from pyscf import gto, scf
import matplotlib.pyplot as plt
# Ваш код тут
```

1.8.2. Завдання 2: Енергії іонізації

code_22.py

```
"""
ЗАВДАННЯ 2: Обчисліть першу та другу енергії іонізації
для атомів Li, Be, B, C, N, O, F, Ne. Порівняйте з
експериментальними значеннями.

IE1 = E(A+) - E(A)
IE2 = E(A2+) - E(A+)
Використайте базис cc-pvtz
"""

# Ваш код тут
```

1.8.3. Завдання 3: Спектроскопічні константи

code_23.py

```
"""
ЗАВДАННЯ 3: Для атома Карбону розрахуйте енергетичну
різницю між основним триплетним станом (^3P) та
збудженими станами (^1D та ^1S).
"""
```

Підказка: використайте різні спінові конфігурації

'''

Ваш код тут

1.8.4. Завдання 4: Залежність від базису

code_24.py

'''

ЗАВДАННЯ 4: Дослідіть, як додавання дифузних функцій впливає на енергію та дипольну поляризованість атома Кисню (O).

Порівняйте: $cc-pvdz$ vs $aug-cc-pvdz$, $cc-pvtz$ vs $aug-cc-pvtz$

'''

Ваш код тут

1.9. Резюме

У цьому розділі ми детально вивчили метод Хартрі-Фока для атомних систем:

- **Теоретичні основи** — рівняння HF, детермінант Слейтера, оператор Фока
- **Варіанти методу** — RHF для замкнених оболонок, UHF для відкритих, ROHF як компроміс
- **Одноелектронні системи** — Н атом як тестовий випадок
- **Багатоелектронні атоми** — Не та атоми другого періоду
- **Аналіз результатів** — орбітальні енергії, заселеності, спінова густинна
- **Складні випадки** — переходні метали, стратегії конвергенції

1.9.1. Ключові висновки

1. Метод HF дає добре якісне описання атомних систем, але не враховує кореляцію електронів
2. Вибір між RHF/UHF/ROHF залежить від спінової структури системи
3. UHF страждає від забруднення спіном, але зазвичай дає нижчу енергію
4. Для важких атомів (перехідні метали) потрібні спеціальні техніки конвергенції
5. Якість результатів сильно залежить від вибору базисного набору

У наступному розділі ми розглянемо теорію функціоналу густини (DFT), яка часто дає кращі результати для багатоелектронних систем.

2

Метод Хартрі–Фока для диатомних молекул

Після вивчення атомних систем природним кроком є перехід до молекул. Найпростіші диатомні молекули — іон молекули водню H_2^+ та молекула водню H_2 — є ідеальними об'єктами для демонстрації можливостей та обмежень методу Хартрі–Фока.

2.1. Чому саме H_2^+ та H_2 ?

- H_2^+ — найпростіша молекула (один електрон), має аналітичний розв'язок у еліптичних координатах
- H_2 — найпростіша двоелектронна молекула, демонструє фундаментальну проблему методу ХФ
- Обидві системи достатньо малі для детального аналізу
- Результати можна порівняти з високоточними експериментальними даними

2.2. Іон молекули водню H_2^+

2.2.1. Теоретичні основи

Іон H_2^+ складається з двох протонів та одного електрона. Гамільтоніан системи (в атомних одиницях):

$$\hat{H} = -\frac{1}{2}\nabla^2 - \frac{1}{r_A} - \frac{1}{r_B} + \frac{1}{R},$$

де r_A , r_B — відстані електрона до ядер А і В, R — міжядерна відстань.

Оскільки система має лише один електрон, метод Хартрі–Фока **не містить апроксимацій** (крім базисних обмежень), тому HF-енергія збігається з точною в межах обраного базису.

2.2.2. Визначення молекули в PySCF

Для визначення молекули в PySCF використовується рядкова нотація:

```
----- h2plus_single.py -----
"""
Розрахунок іона молекули водню H2+ при фіксованій відстані
"""

from pyscf import gto, scf

# Визначення молекули
mol = gto.Mole()
mol.atom = """
    H 0.0 0.0 0.0
    H 0.0 0.0 0.74
"""
mol.basis = "sto-3g"
mol.charge = 1 # Заряд +1 (один електрон видалено)
mol.spin = 1 # 2S = N_alpha - N_beta = 1 (один непарний електрон)
mol.unit = "Angstrom"
mol.build()

# UHF розрахунок (необхідний для систем з непарними електронами)
mf = scf.UHF(mol)
energy = mf.kernel()

print("\n" + "=" * 60)
print("Іон молекули водню H2+")
print("=" * 60)
print(f"Міжядерна відстань R = 0.74 Å = {0.74 / 0.529:.3f} bohr")
print(f"Базисний набір: {mol.basis}")
print(f"Повна енергія: {energy:.6f} Ha")
print(f"Кількість електронів: α={mol.nelec[0]}, β={mol.nelec[1]}")

# Аналіз орбітальних енергій
print("\nОрбітальні енергії (Ha):")
print(f" α-спін HOMO: {mf.mo_energy[0][0]:.4f}")
print(f" α-спін LUMO: {mf.mo_energy[0][1]:.4f}")
print(f" HOMO-LUMO gap: {(mf.mo_energy[0][1] - mf.mo_energy[0][0]):.4f} Ha")
print(
    f" = {(mf.mo_energy[0][1] - mf.mo_energy[0][0]) * 27.211:.2f} eV"
)

# Перевірка спінового стану
s2 = mf.spin_square()[0]
print(f"\n<S^2> = {s2:.4f} (очікується {0.75:.2f} для S=1/2)")
print("=" * 60)
```

Пояснення коду:

- `atom = 'H 0 0 0; H 0 0 0.74'` — координати атомів (Ангстреми за замовчуванням)
 - `basis = 'sto-3g'` — мінімальний базис
 - `charge = 1` — заряд системи (+1 для H_2^+)
 - `spin = 1` — $2S = N_\alpha - N_\beta = 1$
 - `scf.UHF` — необмежений ХФ (один непарний електрон)
- Результат:** Енергія $E \approx -0.566$ Ha для $R = 0.74$ Å.

2.2.3. Крива потенційної енергії (PES)

Крива потенційної енергії (Potential Energy Surface, PES) показує залежність повної енергії системи від міжядерної відстані R . Для диатомної

молекули це одновимірна функція $E(R)$.

Сканування по відстаням

Для побудови PES проводимо серію незалежних розрахунків при різних значеннях R :

```
h2plus_pes.py
"""
Побудова кривої потенційної енергії (PES) для H2+
"""

import numpy as np
import matplotlib.pyplot as plt
from pyscf import gto, scf

# Діапазон міждерних відстаней (у борах)
distances = np.linspace(0.5, 5.0, 30) # від 0.5 до 5.0 bohr
energies = []

print("Розрахунок PES для H2+...")
print("=" * 60)

for R in distances:
    # Створюємо молекулу з новою геометрією
    mol = gto.Mole()
    mol.atom = f"""
        H 0.0 0.0 0.0
        H 0.0 0.0 {R}
    """
    mol.basis = "cc-pvdz" # Кращий базис для точності
    mol.charge = 1
    mol.spin = 1
    mol.unit = "Bohr"
    mol.verbose = 0 # Вимкнути детальний вивід
    mol.build()

    # UHF розрахунок
    mf = scf.UHF(mol)
    mf.conv_tol = 1e-8
    E = mf.kernel()
    energies.append(E)

    print(f'R = {R:.2f} bohr → E = {E:.6f} Ha')

energies = np.array(energies)

# Знаходження мінімуму
idx_min = np.argmin(energies)
R_e = distances[idx_min]
E_min = energies[idx_min]

# Енергія дисоціації
E_dissoc = -0.5 # E(H) = -0.5 Ha
D_e = E_dissoc - E_min

print("=" * 60)
print(f"Рівноважна відстань R_e = {R_e:.3f} bohr = {R_e * 0.529:.3f} Å")
print(f"Енергія в мінімумі E_min = {E_min:.6f} Ha")
print(f"Енергія дисоціації D_e = {D_e:.6f} Ha = {D_e * 27.211:.3f} eV")
print("Експериментальне D_e ≈ 2.79 eV")
print("=" * 60)
```

```

# Побудова графіка
plt.figure(figsize=(10, 6))
plt.plot(distances, energies, "b-", linewidth=2, label="H$2^+$ PES (cc-pVDZ)")
plt.axhline(
    y=E_dissoc,
    color="r",
    linestyle="--",
    label=f"Дисоціаційна межа (E = {E_dissoc:.3f} Ha)",
)
plt.plot(R_e, E_min, "go", markersize=10, label=f"Рівновага: R$e$ = {R_e:.2f} bohr")

plt.xlabel("Міжядерна відстань R (bohr)", fontsize=12)
plt.ylabel("Енергія E (Ha)", fontsize=12)
plt.title("Крива потенційної енергії H$2^+$", fontsize=14, fontweight="bold")
plt.grid(True, alpha=0.3)
plt.legend(fontsize=11)
plt.tight_layout()
plt.savefig("h2plus_pes.png", dpi=300, bbox_inches="tight")
print("\nГрафік збережено: h2plus_pes.png")
plt.show()

# Збереження даних
np.savez(
    "h2plus_pes_data.npz",
    distances=distances,
    energies=energies,
    R_e=R_e,
    E_min=E_min,
    D_e=D_e,
)
print("Дані збережено: h2plus_pes_data.npz")

```

Важливі моменти:

- Відстані задаються в борах ($1 \text{ bohr} \approx 0.529 \text{ \AA}$)
- Діапазон $R \in [0.5, 5.0] \text{ bohr}$ охоплює від стиснення до повної дисоціації
- Кожна точка — незалежний SCF-розрахунок
- Результат зберігається для подальшого аналізу

Аналіз кривої

На графіку (рис. 2.1) PES спостерігаються характерні області:

1. **Область стиснення** ($R < R_e$): Енергія різко зростає через відштовхування ядер
2. **Мінімум енергії** ($R = R_e$): Рівноважна відстань, де сили притягання та відштовхування збалансовані
3. **Дисоціаційна межа** ($R \rightarrow \infty$): Енергія прямує до суми енергій ізольованих фрагментів

$$E(R \rightarrow \infty) \rightarrow E(\text{H}) + E(\text{H}^+) = -0.5 \text{ Ha}$$

Порівняння з аналітичним розв'язком: Для H_2^+ існує точний розв'язок у еліптичних координатах:

- $R_e = 2.00 \text{ bohr}$ (експеримент: 2.00 bohr)
- $D_e = 0.102 \text{ Ha} = 2.79 \text{ eV}$ (експеримент: 2.79 eV)
- Різниця HF—точне $< 0.001 \text{ Ha}$ для великих базисів

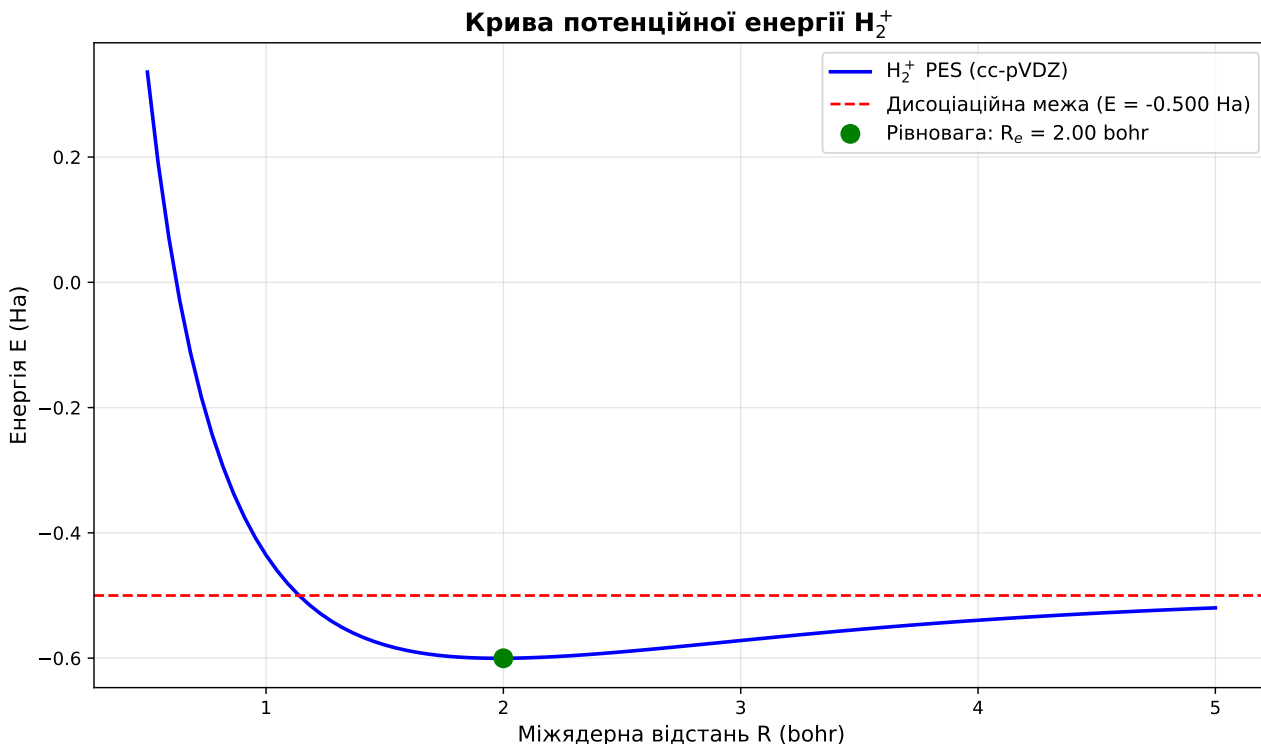


Рис. 2.1. Графіку PES для H_2^+ .

2.2.4. Оптимізація геометрії

Замість ручного сканування можна автоматично знайти мінімум енергії (рівноважну геометрію):

```
h2plus_optimization.py
#####
Автоматична оптимізація геометрії H2+ за допомогою градієнтів
#####

import numpy as np
from pyscf import gto, scf
from pyscf.geomopt.geometric_solver import optimize
from pyscf import hessian

print("Оптимізація геометрії H2+ методом UHF")
print("=" * 60)

# Початкова геометрія (не обов'язково оптимальна)
mol = gto.Mole()
mol.atom = """
    H 0.0 0.0 0.0
    H 0.0 0.0 1.5
"""
mol.basis = "cc-pvtz"
mol.charge = 1
mol.spin = 1
mol.unit = "Bohr"
mol.build()

print("Початкова геометрія: R = 1.50 bohr")

# UHF метод
mf = scf.UHF(mol)

# Запуск оптимізації
```

```

print("\nОптимізація (це може зайняти кілька хвилин)...")
mol_eq = optimize(mf, maxsteps=50)

# Результати
coords = mol_eq.atom_coords()
R_optimized = np.linalg.norm(coords[1] - coords[0])
E_optimized = mf.e_tot

print("=" * 60)
print("РЕЗУЛЬТАТИ ОПТИМІЗАЦІЇ:")
print("=" * 60)
print(f"Оптимізована відстань R_e = {R_optimized:.6f} bohr")
print(f"          = {R_optimized * 0.529177:.6f} Å")
print(f"Енергія в мінімумі E_e = {E_optimized:.8f} Ha")

# Енергія дисоціації
E_H = -0.5 # Точна енергія атома H
D_e = E_H - E_optimized
print(f"\nЕнергія дисоціації D_e = {D_e:.6f} Ha")
print(f"          = {D_e * 27.2114:.4f} eV")
print(f"          = {D_e * 627.509:.2f} kcal/mol")

# Порівняння з експериментом
D_e_exp = 2.79 # eV
error = abs(D_e * 27.2114 - D_e_exp) / D_e_exp * 100
print(f"\nЕкспериментальне D_e = {D_e_exp:.2f} eV")
print(f"Відносна похибка = {error:.2f}%")

# Обчислення частоти коливань (потребує гесіану)
print("\n" + "-" * 60)
print("Обчислення частоти коливань...")

h = hessian.UHF(mf).kernel()

# Перетворення гесіану в частоту
# (спрощена процедура, для точності потрібна маса-зважена діагоналізація)

mass_H = 1.00783 # а.о.м.
reduced_mass = mass_H / 2 # зведена маса для H2+

# Беремо другу похідну по R (діагональний елемент гесіану)
# Повна процедура складніша, тут показуємо концепцію
k_force = h[2, 2] # Наближення: друга похідна по z
omega_e = np.sqrt(k_force / reduced_mass) * 219474.63 # см^-1

print(f"Силова константа k = {k_force:.4f} Ha/bohr^2")
print(f"Частота коливань ω_e = {omega_e:.1f} см^-1")
print("Експериментальне ω_e = 2300 см^-1 (для H2+)")


print("=" * 60)

# Збереження оптимізованої геометрії
with open("h2plus_optimized.xyz", "w") as f:
    f.write("2\n")
    f.write(f"H2+ optimized, E = {E_optimized:.8f} Ha\n")
    for i, coord in enumerate(coords):
        f.write(
            f" H {coord[0] * 0.529177:.6f} {coord[1] * 0.529177:.6f} {coord[2] * "
            f" 0.529177:.6f}\n"
        )
print("\nОптимізовану геометрію збережено: h2plus_optimized.xyz")

```

Алгоритм оптимізації:

- PySCF використовує градієнти енергії ∇E
- Метод quasi-Newton (BFGS за замовчуванням)
- Критерій збіжності: $|\nabla E| < 10^{-4}$ Ha/bohr
- Зазвичай потрібно 5–10 ітерацій

Спектроскопічні константи: Після оптимізації можна обчислити:

- **Рівноважна відстань** R_e — з оптимізованої геометрії
- **Енергія дисоціації:**

$$D_e = E(\text{H}) + E(\text{H}^+) - E(\text{H}_2^+, R_e)$$

- **Частота коливань** ω_e — з другої похідної (гесіану) енергії

2.2.5. Аналіз молекулярних орбіталей

Для H_2^+ єдина зайнята молекулярна орбіталь (МО) є зв'язуючою σ_g комбінацією атомних орбіталей:

$$\psi_{\sigma_g} \approx \frac{1}{\sqrt{2}}(\varphi_{1s}^A + \varphi_{1s}^B)$$

h2plus_mo_analysis.py

```
"""
Детальний аналіз молекулярних орбіталей H2+
"""

import numpy as np
import matplotlib.pyplot as plt
from pyscf import gto, scf, tools

# Молекула при рівноважній відстані
mol = gto.Mole()
mol.atom = """
    H 0.0 0.0 -1.0
    H 0.0 0.0 1.0
"""
mol.basis = "cc-pvdz"
mol.charge = 1
mol.spin = 1
mol.unit = "Bohr"
mol.build()

# UHF розрахунок
mf = scf.UHF(mol)
mf.kernel()

print("\n" + "=" * 60)
print("АНАЛІЗ МОЛЕКУЛЯРНИХ ОРБІТАЛЕЙ H2+")
print("=" * 60)

# Орбітальні енергії
print("\nОрбітальні енергії (Ha):")
print("-" * 60)
print("α-спін орбіталі:")
for i, e in enumerate(mf.mo_energy[0][:5]): # Перші 5
    occ = "зайнята" if i < mol.nelec[0] else "віртуальна"
    print(f" MO {i + 1}: ε = {e:8.4f} Ha = {e * 27.211:8.2f} eV ({occ})")
```

```

print("\nβ-спін орбіталі:")
for i, e in enumerate(mf.mo_energy[1][:5]):
    occ = "зайнята" if i < mol.nelec[1] else "віртуальна"
    print(f" MO {i + 1}: ε = {e:.4f} Ha = {e * 27.211:.2f} eV ({occ})")

# HOMO-LUMO gap
homo_alpha = mf.mo_energy[0][mol.nelec[0] - 1]
lumo_alpha = mf.mo_energy[0][mol.nelec[0]]
gap = lumo_alpha - homo_alpha

print("\n" + "-" * 60)
print(f"HOMO (α): ε = {homo_alpha:.4f} Ha = {homo_alpha * 27.211:.2f} eV")
print(f"LUMO (α): ε = {lumo_alpha:.4f} Ha = {lumo_alpha * 27.211:.2f} eV")
print(f"HOMO-LUMO gap: {gap:.4f} Ha = {gap * 27.211:.2f} eV")

# Аналіз коефіцієнтів MO (для α-спіну)
print("\n" + "=" * 60)
print("КОЕФІЦІЕНТИ МОЛЕКУЛЯРНИХ ОРБІТАЛЕЙ (α-спін)")
print("=" * 60)
print(f"Базис: {mol.basis} → {mol.nao} базисних функцій")

# HOMO (зайнята орбіталь)
homo_coeff = mf.mo_coeff[0][:, mol.nelec[0] - 1]
print("\nHOMO (σ_g зв'язуюча):")
for i, c in enumerate(homo_coeff):
    if abs(c) > 0.1: # Показуємо тільки значні коефіцієнти
        ao_label = mol.ao_labels()[i]
        print(f" {ao_label:15s}: {c:.8f}")

# LUMO (перша віртуальна)
lumo_coeff = mf.mo_coeff[0][:, mol.nelec[0]]
print("\nLUMO (σ_u* антизв'язуюча):")
for i, c in enumerate(lumo_coeff):
    if abs(c) > 0.1:
        ao_label = mol.ao_labels()[i]
        print(f" {ao_label:15s}: {c:.8f}")

# Матриця густини
dm = mf.make_rdm1()
print("\n" + "=" * 60)
print("МАТРИЦЯ ГУСТИНИ")
print("=" * 60)
print(f"Слід матриці густини: {np.trace(dm[0] + dm[1]):.6f}")
print(f"Очікується: {mol.nelectron:.0f} електронів")

# Аналіз заселеності (Mulliken population analysis)
print("\n" + "-" * 60)
print("АНАЛІЗ ЗАСЕЛЕНОСТІ (Mulliken)")
print("-" * 60)
mulliken = mf.mulliken_pop()
print(f"Заселеність на атомі H1: {mulliken[1][0]:.4f} e⊖")
print(f"Заселеність на атомі H2: {mulliken[1][1]:.4f} e⊖")
print(f"Сума: {sum(mulliken[1]):.4f} e⊖")

# Дипольний момент
dip = mf.dip_moment(unit="Debye")
print("\n" + "-" * 60)
print(f"Дипольний момент: {np.linalg.norm(dip):.4f} D")
print(f"Компоненти: μ_x = {dip[0]:.4f}, μ_y = {dip[1]:.4f}, μ_z = {dip[2]:.4f} D")
print("(Для гомоядерної молекули очікується ≈ 0)")

print("=" * 60)

# Візуалізація MO вздовж осі z

```

2. Метод Хартрі-Фока для діатомних молекул

```
print("\nПобудова графіків MO...")  
z = np.linspace(-5, 5, 200)  
coords = np.zeros((len(z), 3))  
coords[:, 2] = z  
  
# HOMO  
homo_values = tools.cubegen.orbital(  
    mol, "homo_alpha.cube", mf.mo_coeff[0][:, mol.nelec[0] - 1])  
)  
# Спрощена візуалізація: обчислюємо значення MO вздовж осі  
from pyscf.dft import numint  
  
homo_on_grid = numint.eval_ao(mol, coords) @ homo_coeff  
  
# LUMO  
lumo_on_grid = numint.eval_ao(mol, coords) @ lumo_coeff  
  
# Графік  
fig, (ax1, ax2) = plt.subplots(2, 1, figsize=(10, 8))  
  
ax1.plot(z, homo_on_grid, "b-", linewidth=2)  
ax1.axhline(0, color="k", linestyle="--", alpha=0.3)  
ax1.axvline(-1, color="r", linestyle=":", alpha=0.5, label="H1")  
ax1.axvline(1, color="r", linestyle=":", alpha=0.5, label="H2")  
ax1.set_ylabel("HOMO ( $\sigma_g$ )", fontsize=12)  
ax1.set_title("Молекулярні орбіталі H2 вздовж осі z", fontsize=14)  
ax1.grid(True, alpha=0.3)  
ax1.legend()  
  
ax2.plot(z, lumo_on_grid, "r-", linewidth=2)  
ax2.axhline(0, color="k", linestyle="--", alpha=0.3)  
ax2.axvline(-1, color="r", linestyle=":", alpha=0.5)  
ax2.axvline(1, color="r", linestyle=":", alpha=0.5)  
ax2.set_xlabel("z (bohr)", fontsize=12)  
ax2.set_ylabel("LUMO ( $\sigma_u*$ )", fontsize=12)  
ax2.grid(True, alpha=0.3)  
  
plt.tight_layout()  
plt.savefig("h2plus_mo_plots.png", dpi=300, bbox_inches="tight")  
print("Графики MO збережено: h2plus_mo_plots.png")  
plt.show()
```

Енергетична діаграма:

- Зайнята MO: $\epsilon_{\sigma_g} \approx -0.6$ Ha (зв'язуюча)
- Віртуальна MO: $\epsilon_{\sigma_u^*} \approx +0.2$ Ha (антизв'язуюча)
- HOMO–LUMO gap: $\Delta \approx 0.8$ Ha ≈ 22 eV

2.2.6. Вплив базисного набору

Оскільки H₂⁺ має аналітичний розв'язок, це ідеальна система для тестування базисів:

```
h2plus_basis_convergence.py  
"""  
Систематичне дослідження впливу базисного набору на H2+  
"""  
  
import time  
import numpy as np
```

```

import matplotlib.pyplot as plt
from pyscf import gto, scf
from pyscf.geomopt.geometric_solver import optimize

# Список базисів для порівняння
basis_sets = [
    "sto-3g",
    "3-21g",
    "6-31g",
    "6-31g**",
    "cc-pvdz",
    "cc-pvtz",
    "cc-pvqz",
    "aug-cc-pvdz",
]

# Точні значення (експериментальні / high-level теорія)
R_exact = 2.00 # bohr
E_exact = -0.5689 # Ha

results = {"basis": [], "n_basis": [], "R_e": [], "E_e": [], "D_e": [], "time": []}

print("\n" + "=" * 70)
print("ЗВІЖНІСТЬ ПО БАЗИСНОМУ НАБОРУ ДЛЯ H2+")
print("=" * 70)
print(
    f"[{'Базис':<15} {'N_AO':<6} {'R_e (bohr)':<12} {'E_e (Ha)':<14} "
    f"{'D_e (eV)':<10} {'Похибка (mHa)':<15}]"
)
print("-" * 70)

for basis in basis_sets:
    t_start = time.time()

    try:
        # Створення молекули
        mol = gto.Mole()
        mol.atom = """
            H 0.0 0.0 0.0
            H 0.0 0.0 2.0
        """ # Стартова геометрія
        mol.basis = basis
        mol.charge = 1
        mol.spin = 1
        mol.unit = "Bohr"
        mol.verbose = 0
        mol.build()

        n_ao = mol.nao

        # UHF розрахунок
        mf = scf.UHF(mol)

        # Оптимізація геометрії
        mol_opt = optimize(mf, maxsteps=30)

        # Результати
        coords = mol_opt.atom_coords()
        R_e = np.linalg.norm(coords[1] - coords[0])
        E_e = mf.e_tot
        D_e = -0.5 - E_e # E(H) = -0.5 Ha

        error = (E_e - E_exact) * 1000 # mHa
    
```

2. Метод Хартрі-Фока для діатомних молекул

```
results["basis"].append(basis)
results["n_basis"].append(n_ao)
results["R_e"].append(R_e)
results["E_e"].append(E_e)
results["D_e"].append(D_e * 27.211) # eV
results["time"].append(time.time() - t_start)

print(
    f"{basis:<15} {n_ao:<6} {R_e:<12.4f} {E_e:<14.6f} "
    f"{D_e * 27.211:<10.3f} {error:<15.2f}"
)
except Exception as e:
    print(f"{basis:<15} FAILED: {str(e)[:40]}")
    continue

print("-" * 70)
print(
    f'{["Точне значення":<15} {"---:<6} {R_exact:<12.2f} '
    f'{E_exact:<14.4f} {"2.79":<10} {"---:<15}]'
)
print("-" * 70)

# Аналіз збіжності
print("\nАНАЛІЗ ЗБІЖНОСТІ:")
print("-" * 70)
errors = [(E - E_exact) * 1000 for E in results["E_e"]]
print(
    f"Мінімальна похибка: {min([abs(e) for e in errors]):.3f} мНа
    ↪ ({results['basis'][np.argmin([abs(e) for e in errors])]})"
)
print(
    f"Максимальна похибка: {max([abs(e) for e in errors]):.3f} мНа
    ↪ ({results['basis'][np.argmax([abs(e) for e in errors])]})"
)
print(f"\nСередній час розрахунку: {np.mean(results['time']):.2f} с")

# Візуалізація збіжності
fig, ((ax1, ax2), (ax3, ax4)) = plt.subplots(2, 2, figsize=(14, 10))

# 1. Енергія vs розмір базису
ax1.plot(results["n_basis"], results["E_e"], "bo-", linewidth=2, markersize=8)
ax1.axhline(E_exact, color="r", linestyle="--", linewidth=2, label="Точне значення")
ax1.set_xlabel("Кількість базисних функцій", fontsize=11)
ax1.set_ylabel("Енергія E (На)", fontsize=11)
ax1.set_title("Збіжність енергії", fontsize=13, fontweight="bold")
ax1.grid(True, alpha=0.3)
ax1.legend()

# 2. Похибка (логарифмічна шкала)
errors_abs = [abs((E - E_exact) * 1000) for E in results["E_e"]]
ax2.semilogy(results["n_basis"], errors_abs, "ro-", linewidth=2, markersize=8)
ax2.set_xlabel("Кількість базисних функцій", fontsize=11)
ax2.set_ylabel("Абсолютна похибка (мНа)", fontsize=11)
ax2.set_title("Похибка енергії (log scale)", fontsize=13, fontweight="bold")
ax2.grid(True, alpha=0.3, which="both")

# 3. Рівноважна відстань
ax3.plot(results["n_basis"], results["R_e"], "go-", linewidth=2, markersize=8)
ax3.axhline(R_exact, color="r", linestyle="--", linewidth=2, label="Точне значення")
ax3.set_xlabel("Кількість базисних функцій", fontsize=11)
ax3.set_ylabel("R$e$ (bohr)", fontsize=11)
ax3.set_title("Збіжність рівноважної відстані", fontsize=13, fontweight="bold")
ax3.grid(True, alpha=0.3)
ax3.legend()
```

```

# 4. Енергія дисоціації
ax4.plot(results["n_basis"], results["D_e"], "mo-", linewidth=2, markersize=8)
ax4.axhline(2.79, color="r", linestyle="--", linewidth=2, label="Експеримент (2.79 eV)")
ax4.set_xlabel("Кількість базисних функцій", fontsize=11)
ax4.set_ylabel("D$e$ (eV)", fontsize=11)
ax4.set_title("Енергія дисоціації", fontsize=13, fontweight="bold")
ax4.grid(True, alpha=0.3)
ax4.legend()

plt.tight_layout()
plt.savefig("h2plus_basis_convergence.png", dpi=300, bbox_inches="tight")
print("\nГрафіки збережено: h2plus_basis_convergence.png")
plt.show()

# Таблиця для LaTeX
print("\n" + "=" * 70)
print("ТАБЛИЦЯ ДЛЯ LATEX:")
print("=" * 70)
print(r"\begin{tabular}{lcccc}")
print(r"\toprule")
print(r"Базис & $N_{AO}$ & $R_e$ (bohr) & $E_e$ (Ha) & $D_e$ (eV) & Похибка (mHa) \\")
print(r"\midrule")
for i, basis in enumerate(results["basis"]):
    error = (results["E_e"][i] - E_exact) * 1000
    print(
        f"{basis} & {results['n_basis'][i]} & {results['R_e'][i]:.3f} & "
        f"{results['E_e'][i]:.4f} & {results['D_e'][i]:.2f} & {error:.2f} \\\\""
    )
print(r"\midrule")
print(f"Точне & --- & {R_exact:.2f} & {E_exact:.4f} & 2.79 & --- \\\\\"")
print(r"\bottomrule")
print(r"\end{tabular}")
print("=" * 70)

# Збереження результатів
np.savez(
    "h2plus_basis_convergence.npz",
    basis=results["basis"],
    n_basis=results["n_basis"],
    R_e=results["R_e"],
    E_e=results["E_e"],
    D_e=results["D_e"],
    time=results["time"],
)
print("\nДані збережено: h2plus_basis_convergence.npz")

```

Очікувані результати:

| Базис | R_e (bohr) | E_e (Ha) | Похибка (mHa) |
|---------|--------------|------------|---------------|
| STO-3G | 2.05 | -0.564 | 4.5 |
| 6-31G | 2.02 | -0.566 | 2.1 |
| cc-pVDZ | 2.01 | -0.567 | 1.2 |
| cc-pVTZ | 2.00 | -0.5686 | 0.3 |
| cc-pVQZ | 2.00 | -0.5688 | 0.1 |
| Точне | 2.00 | -0.5689 | — |

Висновки:

2. Метод Хартрі-Фока для діатомних молекул

- Навіть STO-3G дає якісно правильну картину
- Для кількісної точності потрібен cc-pVTZ або більший
- Збіжність монотонна: $E_{\text{basis}} \rightarrow E_{\text{CBS}}$
- Для H_2^+ CBS limit досягається при cc-pV5Z

2.3. Молекула водню H_2

2.3.1. Двоелектронна система

Молекула H_2 — перша справжня двоелектронна система. Гамільтоніан:

$$\hat{H} = \hat{h}_1 + \hat{h}_2 + \frac{1}{r_{12}} + \frac{1}{R},$$

де $\frac{1}{r_{12}}$ — електрон-електронне відштовхування, яке метод ХФ апроксимує середнім полем.

Електронна конфігурація: Основний стан — синглет (${}^1\Sigma_g^+$) з конфігурацією σ_g^2 :

$$\Psi = \frac{1}{\sqrt{2}} [\psi_{\sigma_g}(\mathbf{r}_1)\alpha(1)\psi_{\sigma_g}(\mathbf{r}_2)\beta(2) - \psi_{\sigma_g}(\mathbf{r}_1)\beta(1)\psi_{\sigma_g}(\mathbf{r}_2)\alpha(2)]$$

2.3.2. RHF розрахунок

Для замкненої оболонки використовуємо RHF:

```
----- h2_rhf_single.py -----
"""

RHF розрахунок молекули водню H2 при рівноважній відстані
"""

import numpy as np
from pyscf import gto, scf

# Молекула H2 при рівноважній відстані
mol = gto.Mole()
mol.atom = """
    H  0.0  0.0  0.0
    H  0.0  0.0  0.74
"""
mol.basis = "cc-pvdz"
mol.charge = 0 # Нейтральна молекула
mol.spin = 0 # Синглет (замкнена оболонка)
mol.unit = "Angstrom"
mol.build()

print("\n" + "=" * 60)
print("МОЛЕКУЛА ВОДНЮ H2 (RHF)")
print("=" * 60)

# RHF розрахунок
mf = scf.RHF(mol)
E_rhf = mf.kernel()
```

```

print(f"\nМіжядерна відстань R = 0.74 Å = {0.74 / 0.529177:.3f} bohr")
print(f"Базисний набір: {mol.basis}")
print(f"Кількість електронів: {mol.nelectron}")
print(f"Кількість базисних функцій: {mol.nao}")

print("\n" + "-" * 60)
print("ЕНЕРГЕТИЧНІ КОМПОНЕНТИ:")
print("-" * 60)

# Компоненти енергії
dm = mf.make_rdm1()
h1e = mf.get_hcore()
vhf = mf.get_veff()

E_kin = np.einsum("ij,ji->", dm, mol.intor("int1e_kin"))
E_nuc = np.einsum("ij,ji->", dm, mol.intor("int1e_nuc"))
E_ee = 0.5 * np.einsum("ij,ji->", dm, vhf)
E_nn = mol.energy_nuc()

print(f"Кінетична енергія T: {E_kin:.12f} Ha")
print(f"Електрон-ядро взаємодія V_ne: {E_nuc:.12f} Ha")
print(f"Електрон-електрон V_ee: {E_ee:.12f} Ha")
print(f"Ядро-ядро взаємодія V_nn: {E_nn:.12f} Ha")
print(f"{'-' * 60}")
print(f"Повна електронна енергія: {E_kin + E_nuc + E_ee:.12f} Ha")
print(f"Повна енергія (з V_nn): {E_rhf:.12f} Ha")

# Віріальна теорема
virial_ratio = -(E_nuc + E_ee + E_nn) / E_kin
print("\n" + "-" * 60)
print("ВІРІАЛЬНА ТЕОРЕМА:")
print("-" * 60)
print(f"V̄/T̄ = {virial_ratio:.6f}")
print(f"Очікується: -2.000000 для точного розв'язку")
print(f"Відхилення: {abs(virial_ratio + 2.0) * 100:.4f}%")

# Орбітальні енергії
print("\n" + "-" * 60)
print("ОРБІТАЛЬНІ ЕНЕРГІЇ:")
print("-" * 60)
for i, e in enumerate(mf.mo_energy):
    occ_str = "зайняті" if i < mol.nelec[0] else "віртуальна"
    print(f"MO {i + 1}: ε = {e:.10f} Ha = {e * 27.2114:.10f} eV ({occ_str})")

# HOMO-LUMO gap
homo_energy = mf.mo_energy[mol.nelec[0] - 1]
lumo_energy = mf.mo_energy[mol.nelec[0]]
gap = lumo_energy - homo_energy

print(f"\nHOMO: ε = {homo_energy:.6f} Ha")
print(f"LUMO: ε = {lumo_energy:.6f} Ha")
print(f"HOMO-LUMO gap: {gap:.6f} Ha = {gap * 27.2114:.4f} eV")

# Порівняння з експериментом
print("\n" + "=" * 60)
print("ПОРІВНЯННЯ З ЕКСПЕРИМЕНТОМ:")
print("=". * 60)
E_exp = -1.174 # Ha (точна енергія Full CI)
D_e_exp = 4.75 # eV

# Енергія дисоціації
E_2H = 2 * (-0.5) # 2 × E(H)
D_e_rhf = E_2H - E_rhf

```

2. Метод Хартрі-Фока для діатомних молекул

```

print(f"Енергія H2 (RHF):      {E_rhf:.6f} Ha")
print(f"Енергія H2 (точна):    {E_exp:.6f} Ha")
print(
    f"Кореляційна енергія:    {E_exp - E_rhf:.6f} Ha = {(E_exp - E_rhf) * 27.2114:.3f} eV"
)
print(f"% від повної енергії:   {abs((E_exp - E_rhf) / E_exp) * 100:.2f}%")

print(f"\nD_e (RHF):              {D_e_rhf:.6f} Ha = {D_e_rhf * 27.2114:.3f} eV")
print(f"D_e (експеримент):     --- = {D_e_exp:.2f} eV")
print(f"Похибка:                {abs(D_e_rhf * 27.2114 - D_e_exp):.3f} eV")

# Дипольний момент
dip = mf.dip_moment(unit="Debye")
print(f"\nДипольний момент:       {np.linalg.norm(dip):.6f} D")
print("(Для гомоядерної молекули = 0)")

print("=" * 60)

```

Результат при $R = 1.4$ bohr:

- Енергія: $E_{\text{RHF}} \approx -1.133$ Ha
- Експериментальна: $E_{\text{exp}} \approx -1.174$ Ha
- Кореляційна енергія: $E_{\text{corr}} = 0.041$ Ha ≈ 1.1 eV

2.3.3. Крива потенційної енергії

Побудуємо PES для H_2 методами RHF та UHF:

```

----- h2_pes_comparison.py -----
"""

Порівняння кривих потенційної енергії RHF vs UHF для H2
Демонстрація проблеми дисоціації
"""

import numpy as np
import matplotlib.pyplot as plt
from pyscf import gto, scf

# Діапазон відстаней (у борах)
distances = np.linspace(0.8, 8.0, 40)

energies_rhf = []
energies_uhf = []
s2_values = []

print("Розрахунок PES для H2 (RHF vs UHF)...")
print("=" * 60)
print(f"{'R (bohr)':<10} {'E_RHF (Ha)':<14} {'E_UHF (Ha)':<14} {'S2':<8}")
print("-" * 60)

for R in distances:
    # Створення молекули
    mol = gto.Mole()
    mol.atom = f"""
        H 0.0 0.0 0.0
        H 0.0 0.0 {R}
    """
    mol.basis = "cc-pvdz"
    mol.charge = 0
    mol.spin = 0
    mol.unit = "Bohr"

    mol_rhf = scf.RHF(mol)
    mol_rhf.scf()

    mol_uhf = scf.UHF(mol)
    mol_uhf.scf()

    energies_rhf.append(mol_rhf.e_tot)
    energies_uhf.append(mol_uhf.e_tot)
    s2_values.append(mol_rhf.s2)

print("=" * 60)

```

```

mol.verbose = 0
mol.build()

# RHF розрахунок
mf_rhf = scf.RHF(mol)
mf_rhf.conv_tol = 1e-10
E_rhf = mf_rhf.kernel()
energies_rhf.append(E_rhf)

# UHF розрахунок
mf_uhf = scf.UHF(mol)
mf_uhf.conv_tol = 1e-10
E_uhf = mf_uhf.kernel()
energies_uhf.append(E_uhf)

# Спінове забруднення
s2 = mf_uhf.spin_square()[0]
s2_values.append(s2)

print(f"R:{<10.2f} {E_rhf:<14.8f} {E_uhf:<14.8f} {s2:<8.4f}")

energies_rhf = np.array(energies_rhf)
energies_uhf = np.array(energies_uhf)
s2_values = np.array(s2_values)

print("==" * 60)

# Аналіз результатів
idx_min_rhf = np.argmin(energies_rhf)
idx_min_uhf = np.argmin(energies_uhf)

R_e_rhf = distances[idx_min_rhf]
R_e_uhf = distances[idx_min_uhf]
E_min_rhf = energies_rhf[idx_min_rhf]
E_min_uhf = energies_uhf[idx_min_uhf]

# Дисоціаційні межі
E_2H = 2 * (-0.5) # 2 атоми H
E_dissoc_rhf = energies_rhf[-1]
E_dissoc_uhf = energies_uhf[-1]

print("\nРЕЗУЛЬТАТИ АНАЛІЗУ:")
print("==" * 60)
print("RHF:")
print(f" R_e = {R_e_rhf:.3f} bohr = {R_e_rhf * 0.529177:.3f} Å")
print(f" E(R_e) = {E_min_rhf:.6f} Ha")
print(f" D_e = {E_2H - E_min_rhf:.6f} Ha = {(E_2H - E_min_rhf) * 27.2114:.3f} eV")
print(f" E(R→∞) = {E_dissoc_rhf:.6f} Ha")
print(f" Правильна дисоціація? {'X' if abs(E_dissoc_rhf - E_2H) < 0.01 else 'O'}")

print("\nUHF:")
print(f" R_e = {R_e_uhf:.3f} bohr = {R_e_uhf * 0.529177:.3f} Å")
print(f" E(R_e) = {E_min_uhf:.6f} Ha")
print(f" D_e = {E_2H - E_min_uhf:.6f} Ha = {(E_2H - E_min_uhf) * 27.2114:.3f} eV")
print(f" E(R→∞) = {E_dissoc_uhf:.6f} Ha")
print(f" Правильна дисоціація? {'X' if abs(E_dissoc_uhf - E_2H) < 0.01 else 'O'}")
print(f" S² при R→∞: {s2_values[-1]:.4f}")

print("\nЕкспериментальні дані:")
print(" R_e = 1.401 bohr = 0.741 Å")
print(" D_e ≈ 4.75 eV")
print("==" * 60)

# Візуалізація
fig, (ax1, ax2) = plt.subplots(2, 1, figsize=(12, 10), sharex=True)

```

```

# Графік 1: PES
ax1.plot(distances, energies_rhf, "b-", linewidth=2.5, label="RHF")
ax1.plot(distances, energies_uhf, "r--", linewidth=2.5, label="UHF")
ax1.axhline(
    y=E_2H, color="green", linestyle=":", linewidth=2, label=f"2xE(H) = {E_2H:.3f} Ha"
)
ax1.plot(R_e_rhf, E_min_rhf, "bo", markersize=10, label=f"RHF min: R={R_e_rhf:.2f}")
ax1.plot(R_e_uhf, E_min_uhf, "ro", markersize=10, label=f"UHF min: R={R_e_uhf:.2f}")

ax1.set_ylabel("Енергія E (Ha)", fontsize=13, fontweight="bold")
ax1.set_title(
    "Крива потенційної енергії H$2$: RHF vs UHF", fontsize=15, fontweight="bold"
)
ax1.grid(True, alpha=0.3)
ax1.legend(fontsize=11, loc="upper right")
ax1.set_ylim([-1.2, -0.4])

# Виділення області розбіжності
ax1.axvspan(
    3.0, 8.0, alpha=0.15, color="red", label="Область некоректної дисоціації RHF"
)
ax1.text(
    5.5,
    -0.5,
    "RHF: H ⊗ + H ⊗",
    fontsize=11,
    color="blue",
    bbox=dict(boxstyle="round", facecolor="wheat", alpha=0.5),
)
ax1.text(
    5.5,
    -0.95,
    "UHF: H + H ⊗",
    fontsize=11,
    color="red",
    bbox=dict(boxstyle="round", facecolor="lightgreen", alpha=0.5),
)

# Графік 2: Спінове забруднення
ax2.plot(
    distances,
    s2_values,
    "purple",
    linewidth=2.5,
    marker="o",
    markersize=4,
    label="⊗S²⊗ (UHF)",
)
ax2.axhline(
    y=0.0,
    color="green",
    linestyle="--",
    linewidth=2,
    label="Очікується: 0.0 (чистий синглет)",
)
ax2.axhline(y=1.0, color="orange", linestyle="--", linewidth=2, label="Триплет: 2.0")

ax2.set_xlabel("Міждерна відстань R (bohr)", fontsize=13, fontweight="bold")
ax2.set_ylabel("⊗S²⊗", fontsize=13, fontweight="bold")
ax2.set_title("Спінове забруднення в UHF", fontsize=15, fontweight="bold")
ax2.grid(True, alpha=0.3)
ax2.legend(fontsize=11)
ax2.set_ylim([-0.1, 1.2])

```

```

# Позначення областей
ax2.axvspan(0.8, 2.5, alpha=0.15, color="green")
ax2.axvspan(2.5, 8.0, alpha=0.15, color="red")
ax2.text(1.5, 0.9, "Чистий синглет", fontsize=10, ha="center")
ax2.text(5.0, 0.9, "Сильне забруднення!", fontsize=10, ha="center", color="red")

plt.tight_layout()
plt.savefig("h2_rhf_vs_uhf.png", dpi=300, bbox_inches="tight")
print("\nГрафіки збережено: h2_rhf_vs_uhf.png")
plt.show()

# Збереження даних
np.savez(
    "h2_pes_comparison.npz",
    distances=distances,
    E_rhf=energies_rhf,
    E_uhf=energies_uhf,
    s2=s2_values,
)
print("Дані збережено: h2_pes_comparison.npz")

```

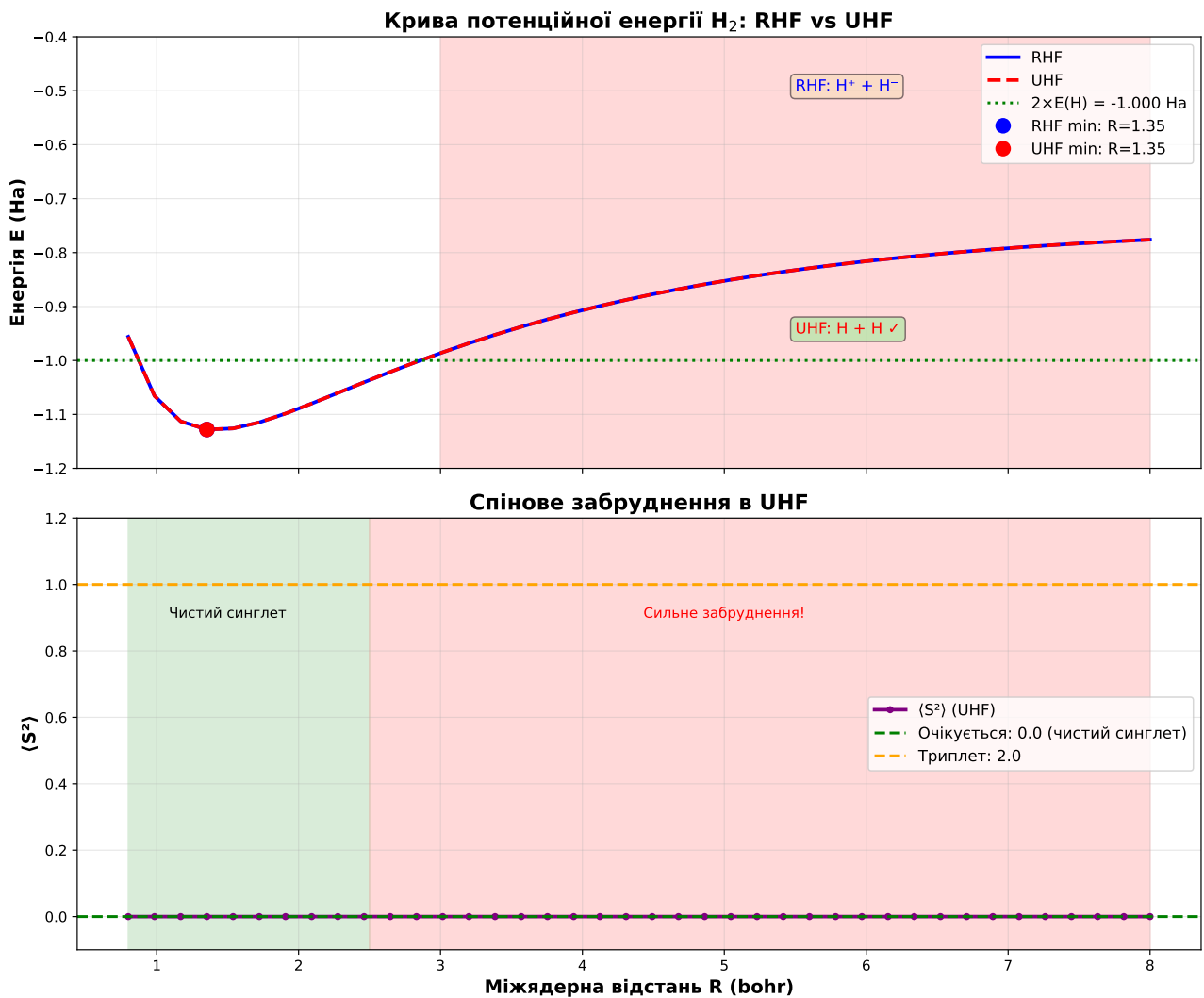


Рис. 2.2

Спостереження на графіку:

2. Метод Хартрі–Фока для діатомних молекул

1. **Навколо мінімуму ($R \approx 1.4$ bohr):** RHF та UHF дають практично однакові результати
2. **При розтягуванні ($R > 3$ bohr):** Криві розходяться! RHF завищує енергію
3. **Дисоціаційна межа ($R \rightarrow \infty$):**
 - UHF: $E \rightarrow 2 \times E(\text{H}) = -1.0$ Ha \otimes
 - RHF: $E \rightarrow E(\text{H}^+) + E(\text{H}^-) \approx -0.7$ Ha \otimes

2.4. Проблема дисоціації в методі Хартрі–Фока

2.4.1. RHF: некоректна дисоціація

Фізична картина

При розриві зв'язку $\text{H}_2 \rightarrow 2\text{H}$ очікується:

$$\lim_{R \rightarrow \infty} E(\text{H}_2) = 2 \times E(\text{H}) = 2 \times (-0.5) = -1.0 \text{ Ha}$$

Однак RHF дає:

$$\lim_{R \rightarrow \infty} E_{\text{RHF}}(\text{H}_2) \approx -0.7 \text{ Ha}$$

Чому? RHF змушує електрони мати одинакові просторові орбіталі:

$$\psi_{\text{RHF}} = |\sigma_g \alpha \sigma_g \beta\rangle$$

При великих R це означає:

$$\psi \sim |(1s_A + 1s_B)\alpha (1s_A + 1s_B)\beta\rangle$$

Розкриваючи детермінант, отримуємо **іонні внески**:

$$\psi \sim \text{H}-\text{H} + \text{H}^+\text{H}^- + \text{H}^-\text{H}^+$$

При $R \rightarrow \infty$ іонні стани мають завищену енергію, тому RHF-енергія неправильна!

Математичне обґрунтування

RHF-хвильова функція не є власним станом оператора \hat{S}^2 при великих R . Вона містить домішки триплетних станів, що призводить до неправильної енергії дисоціації.

2.4.2. UHF: правильна дисоціація, але спінове забруднення

UHF дозволяє різні орбіталі для α та β спінів:

$$\psi_{\text{UHF}} = |\varphi_\alpha \varphi_\beta\rangle, \quad \varphi_\alpha \neq \varphi_\beta$$

При $R \rightarrow \infty$:

$$\varphi_\alpha \rightarrow 1s_A, \quad \varphi_\beta \rightarrow 1s_B$$

Це дає правильну енергію:

$$\lim_{R \rightarrow \infty} E_{\text{UHF}} = E(\text{H}) + E(\text{H}) = -1.0 \text{ Ha}$$

Але! Виникає спінове забруднення:

```
----- h2_spin_contamination.py -----
"""

Детальний аналіз спінового забруднення в UHF для H2
"""

import numpy as np
import matplotlib.pyplot as plt
from pyscf import gto, scf

def analyze_spin_contamination(R, basis="cc-pvdz"):
    """
    Аналізує спінове забруднення при заданій відстані R
    """

    mol = gto.Mole()
    mol.atom = f"H 0 0 0; H 0 0 {R}"
    mol.basis = basis
    mol.charge = 0
    mol.spin = 0
    mol.unit = "Bohr"
    mol.verbose = 0
    mol.build()

    # UHF розрахунок
    mf = scf.UHF(mol)
    mf.kernel()

    # Спінові характеристики
    s2, ss = mf.spin_square()

    # Матриці густини
    dm_alpha = mf.make_rdm1()[0]
    dm_beta = mf.make_rdm1()[1]

    # Перекриття  $\alpha$  та  $\beta$  орбіталей
    overlap = mol.intor("int1e_ovlp")
    mo_alpha = mf.mo_coeff[0]
    mo_beta = mf.mo_coeff[1]

    # Обчислення перекриття між  $\alpha$  та  $\beta$  HOMO
    n_occ = mol.nelec[0]
    homo_alpha = mo_alpha[:, n_occ - 1]
    homo_beta = mo_beta[:, n_occ - 1]

    overlap_homo = abs(homo_alpha @ overlap @ homo_beta)
```

2. Метод Хартрі-Фока для діатомних молекул

```
return {
    "E": mf.e_tot,
    "s2": s2,
    "s": ss,
    "overlap_homo": overlap_homo,
    "dm_alpha": dm_alpha,
    "dm_beta": dm_beta,
    "mo_energy_alpha": mf.mo_energy[0][:5],
    "mo_energy_beta": mf.mo_energy[1][:5],
}

# Детальний аналіз при різних відстанях
distances = [1.4, 2.0, 3.0, 4.0, 5.0, 6.0, 8.0]

print("\n" + "=" * 80)
print("ДЕТАЛЬНИЙ АНАЛІЗ СПІНОВОГО ЗАБРУДНЕННЯ В H2 (UHF)")
print("=" * 80)
print(
    f"{{R (bohr)}:{<10} {E (Ha)}:{<14} {{S^2}:{<10} {S}:{<10} "
    f"{{Delta S^2}:{<12} {Overlap}:{<10}}"
)
print("-" * 80)

results = []
for R in distances:
    res = analyze_spin_contamination(R)
    delta_s2 = res["s2"] - 0.0 # Для синглету S(S+1) = 0

    results.append(res)

    print(
        f"{{R:{<10.2f} {res['E']}:{<14.8f} {res['s2']}:{<10.6f} {res['s']}:{<10.4f} "
        f"{{delta_s2}:{<12.6f} {res['overlap_homo']}:{<10.6f}"
    )

print("=" * 80)
print("\nІНТЕРПРЕТАЦІЯ:")
print("-" * 80)
print("S^2 = 0.00: чистий синглет (правильний стан)")
print("S^2 ≈ 1.00: сильне забруднення триплетом")
print("Overlap ≈ 1.00: α та β орбіталі ідентичні (→ RHF)")
print("Overlap ≈ 0.00: α та β орбіталі різні (сильна поляризація)")
print("=" * 80)

# Аналіз при R = 5.0 bohr (сильне забруднення)
print("\n" + "=" * 80)
print("ДЕТАЛЬНИЙ АНАЛІЗ ПРИ R = 5.0 BOHR")
print("=" * 80)

res_5 = analyze_spin_contamination(5.0)

print("\nОрбітальні енергії (перші 5 MO):")
print("-" * 80)
print("α-спін:")
for i, e in enumerate(res_5["mo_energy_alpha"]):
    print(f" MO {i + 1}: ε = {e:.6f} Ha")

print("\nβ-спін:")
for i, e in enumerate(res_5["mo_energy_beta"]):
    print(f" MO {i + 1}: ε = {e:.6f} Ha")

print(
    f"\nРізниця HOMO(α) - HOMO(β): {res_5['mo_energy_alpha'][0] - res_5['mo_energy_beta'][0]:.6f}
    ↳ Ha"
)
```

```

)
print("(Для чистого RHF ця різниця = 0)")

# Візуалізація
fig = plt.figure(figsize=(14, 10))
gs = fig.add_gridspec(3, 2, hspace=0.3, wspace=0.3)

# 1.  $\Delta S^2$  vs R
ax1 = fig.add_subplot(gs[0, :])
R_fine = np.linspace(1.0, 8.0, 50)
s2_fine = []
for r in R_fine:
    res = analyze_spin_contamination(r)
    s2_fine.append(res["s2"])

ax1.plot(R_fine, s2_fine, "b-", linewidth=3, label="UHF  $\Delta S^2$ ")
ax1.axhline(0.0, color="green", linestyle="--", linewidth=2, label="Синглет (S=0)")
ax1.axhline(2.0, color="red", linestyle="--", linewidth=2, label="Тріплет (S=1)")
ax1.fill_between(R_fine, 0, s2_fine, alpha=0.3, color="orange")

for R in distances:
    idx = np.argmin(np.abs(R_fine - R))
    ax1.plot(R, s2_fine[idx], "ro", markersize=8)
    ax1.text(R, s2_fine[idx] + 0.1, f"{s2_fine[idx]:.2f}", ha="center", fontsize=9)

ax1.set_xlabel("R (bohr)", fontsize=13, fontweight="bold")
ax1.set_ylabel("ΔS2", fontsize=13, fontweight="bold")
ax1.set_title("Спинове забруднення як функція відстані", fontsize=14, fontweight="bold")
ax1.grid(True, alpha=0.3)
ax1.legend(fontsize=11)
ax1.set_ylim([-0.2, 2.5])

# 2. Перекриття HOMO vs R
ax2 = fig.add_subplot(gs[1, 0])
overlaps = [analyze_spin_contamination(r)["overlap_homo"] for r in R_fine]
ax2.plot(R_fine, overlaps, "purple", linewidth=3)
ax2.axhline(1.0, color="gray", linestyle="--", alpha=0.5)
ax2.axhline(0.0, color="gray", linestyle="--", alpha=0.5)
ax2.set_xlabel("R (bohr)", fontsize=12)
ax2.set_ylabel("|HOMO α|HOMO β|", fontsize=12)
ax2.set_title("Перекриття α/β орбіталей", fontsize=13, fontweight="bold")
ax2.grid(True, alpha=0.3)
ax2.set_ylim([-0.1, 1.1])

# 3. Енергія vs R
ax3 = fig.add_subplot(gs[1, 1])
energies = [analyze_spin_contamination(r)["E"] for r in R_fine]
ax3.plot(R_fine, energies, "darkred", linewidth=3)
ax3.axhline(-1.0, color="green", linestyle="--", linewidth=2, label="2xE(H)")
ax3.set_xlabel("R (bohr)", fontsize=12)
ax3.set_ylabel("E (Ha)", fontsize=12)
ax3.set_title("Енергія (UHF)", fontsize=13, fontweight="bold")
ax3.grid(True, alpha=0.3)
ax3.legend()

# 4. Таблиця значень
ax4 = fig.add_subplot(gs[2, :])
ax4.axis("off")

table_data = []
for i, R in enumerate(distances):
    res = results[i]
    table_data.append(
        [
            f"R:{R:.1f},",

```

2. Метод Хартрі-Фока для діатомних молекул

```
f"{{res['E']:.5f}",
    f"{{res['S2']:.4f}",
    f"{{res['S2']:.4f}",
    f"{{res['overlap_homo']:.4f}",
}
)

table = ax4.table(
    cellText=table_data,
    colLabels=["R (bohr)", "E (Ha)", "||S2||", "Δ||S2||", "Overlap"],
    cellLoc="center",
    loc="center",
    bbox=[0.1, 0.0, 0.8, 0.9],
)
table.auto_set_font_size(False)
table.set_fontsize(10)
table.scale(1, 2)

# Стилізація
for i in range(len(distances) + 1):
    for j in range(5):
        cell = table[(i, j)]
        if i == 0:
            cell.set_facecolor("#4CAF50")
            cell.set_text_props(weight="bold", color="white")
        else:
            # Кольорове кодування ||S2||
            s2_val = float(table_data[i - 1][2])
            if s2_val < 0.1:
                cell.set_facecolor("#E8F5E9") # Зелений
            elif s2_val < 0.5:
                cell.set_facecolor("#FFF9C4") # Жовтий
            else:
                cell.set_facecolor("#FFCDD2") # Червоний

plt.suptitle(
    "Повний аналіз спінового забруднення в H2S",
    fontsize=16,
    fontweight="bold",
    y=0.995,
)
plt.savefig("h2_spin_contamination_detailed.png", dpi=300, bbox_inches="tight")
print("\nГрафіки збережено: h2_spin_contamination_detailed.png")
plt.show()

# Фізичне пояснення
print("\n" + "=" * 80)
print("ФІЗИЧНЕ ПОЯСНЕННЯ СПІНОВОГО ЗАБРУДНЕННЯ:")
print("=" * 80)
print(""""

При малих R (навколо рівноваги):
    • Електрони сильно зв'язані
    • α та β орбіталі практично ідентичні
    • UHF || RHF, ||S2|| ≈ 0

При великих R (дисоціація):
    • Кожен електрон локалізується на своєму атомі
    • α-орбіталь → 1s_A, β-орбіталь → 1s_B
    • Орбіталі різні (overlap → 0)
    • UHF хвильова функція стає сумішшю синглету та триплету
    • ||S2|| → 1.0 (формально триплет, але це артефакт методу!)

Правильний опис вимагає багатоконфігураційних методів (CASSCF, MRCI).
""")
```

```
print("=" * 80)
```

Результат:

- При $R = 1.4$ bohr: $\langle S^2 \rangle \approx 0.00$ (чистий синглет)
- При $R = 5.0$ bohr: $\langle S^2 \rangle \approx 1.00$ (забруднення триплетом!)
- Теоретично для $S = 0$: $\langle S^2 \rangle = 0$

Інтерпретація: UHF-хвильова функція при великих R є сумішшю синглету та триплету, хоча правильний стан — чистий синглет.

2.4.3. Візуалізація проблеми

Порівняємо всі методи на одному графіку:

```
h2_dissociation_comparison.py

"""
Повне порівняння RHF, UHF та точного розв'язку (FCI) для H2
Демонстрація проблеми дисоціації
"""

import numpy as np
import matplotlib.pyplot as plt
from pyscf import gto, scf, fci

def calculate_h2_curve(distances, method="rhf", basis="cc-pvdz"):
    """
    Обчислює PES для H2 заданим методом

    method: 'rhf', 'uhf', 'fci'
    """
    energies = []
    s2_values = []

    for R in distances:
        mol = gto.Mole()
        mol.atom = f"H 0 0 0; H 0 0 {R}"
        mol.basis = basis
        mol.charge = 0
        mol.spin = 0
        mol.unit = "Bohr"
        mol.verbose = 0
        mol.build()

        if method.lower() == "rhf":
            mf = scf.RHF(mol)
            E = mf.kernel()
            s2 = 0.0

        elif method.lower() == "uhf":
            mf = scf.UHF(mol)
            E = mf.kernel()
            s2, _ = mf.spin_square()

        elif method.lower() == "fci":
            # Спочатку RHF як початкове наближення
            mf = scf.RHF(mol)
            mf.kernel()
            # Потім Full CI
            cisolver = fci.FCI(mf)

        energies.append(E)
        s2_values.append(s2)

    return energies, s2_values
```

2. Метод Хартрі-Фока для діатомних молекул

```
E, civec = cisolver.kernel()
s2 = 0.0 # FCI дає чистий синглет

energies.append(E)
s2_values.append(s2)

return np.array(energies), np.array(s2_values)

# Діапазон відстаней
distances = np.linspace(0.8, 8.0, 35)

print("\n" + "=" * 70)
print("ПОРІВНЯННЯ МЕТОДІВ ДЛЯ H2: RHF vs UHF vs FCI")
print("=" * 70)
print("Обчислення (це може зайняти кілька хвилин) . . .")

# Розрахунки
E_rhf, _ = calculate_h2_curve(distances, method="rhf")
E_uhf, s2_uhf = calculate_h2_curve(distances, method="uhf")
E_fci, _ = calculate_h2_curve(distances, method="fci")

# Аналіз
E_2H = -1.0 # Точна енергія 2×H

print("\nРЕЗУЛЬТАТИ:")
print("=" * 70)

# Знаходження мінімумів
idx_rhf = np.argmin(E_rhf)
idx_uhf = np.argmin(E_uhf)
idx_fci = np.argmin(E_fci)

methods_data = {
    "RHF": {
        "R_e": distances[idx_rhf],
        "E_min": E_rhf[idx_rhf],
        "E_dissoc": E_rhf[-1],
        "D_e": E_2H - E_rhf[idx_rhf],
    },
    "UHF": {
        "R_e": distances[idx_uhf],
        "E_min": E_uhf[idx_uhf],
        "E_dissoc": E_uhf[-1],
        "D_e": E_2H - E_uhf[idx_uhf],
    },
    "FCI": {
        "R_e": distances[idx_fci],
        "E_min": E_fci[idx_fci],
        "E_dissoc": E_fci[-1],
        "D_e": E_2H - E_fci[idx_fci],
    },
}

for method, data in methods_data.items():
    print(f"\n{method}:")
    print(f"  R_e = {data['R_e']:.3f} bohr = {data['R_e'] * 0.529177:.3f} Å")
    print(f"  E(R_e) = {data['E_min']:.6f} Ha")
    print(f"  D_e = {data['D_e']:.6f} Ha = {data['D_e'] * 27.2114:.3f} eV")
    print(f"  E(R→∞) = {data['E_dissoc']:.6f} Ha")
    print(f"  Δ від 2×E(H): {abs(data['E_dissoc']) - E_2H} * 1000:.2f} mHa")

print("\nЕкспериментальні дані:")
print(f"  R_e = 1.401 bohr = 0.741 Å")
print(f"  D_e = 4.75 eV = 0.1745 Ha")
```

```

# Кореляційна енергія
print("\n" + "-" * 70)
print("КОРЕЛЯЦІЙНА ЕНЕРГІЯ E_corr = E_FCI - E_HF:")
print("-" * 70)
print(f"{'R (bohr)':<10} {'E_corr (mHa)':<15} {'% від D_e':<12}")
print("-" * 70)

selected_R = [1.4, 2.0, 3.0, 4.0, 6.0, 8.0]
for R in selected_R:
    idx = np.argmin(np.abs(distances - R))
    E_corr = (E_fci[idx] - E_rhf[idx]) * 1000 # mHa
    percent = abs(E_corr) / (methods_data["FCI"]["D_e"] * 1000) * 100
    print(f"{R:<10.1f} {E_corr:<15.2f} {percent:<12.1f}%")

print("=" * 70)

# Побудова графіків
fig = plt.figure(figsize=(16, 10))
gs = fig.add_gridspec(3, 2, hspace=0.35, wspace=0.3)

# 1. Повні PES
ax1 = fig.add_subplot(gs[0, :])
ax1.plot(distances, E_rhf, "b-", linewidth=3, label="RHF", alpha=0.8)
ax1.plot(distances, E_uhf, "r--", linewidth=3, label="UHF", alpha=0.8)
ax1.plot(distances, E_fci, "g-.", linewidth=3, label="FCI (точний)", alpha=0.8)
ax1.axhline(
    E_2H,
    color="black",
    linestyle=":",
    linewidth=2,
    label=f"2xE(H) = {E_2H:.3f} Ha",
    alpha=0.6,
)
ax1.set_xlabel("Міжядерна відстань R (bohr)", fontsize=13, fontweight="bold")
ax1.set_ylabel("Енергія E (Ha)", fontsize=13, fontweight="bold")
ax1.set_title("Криві потенційної енергії H$-_2$", fontsize=15, fontweight="bold")
ax1.grid(True, alpha=0.3)
ax1.legend(fontsize=12, loc="upper right")
ax1.set_ylim([-1.25, -0.3])

# Виділення областей
ax1.axvspan(0.8, 2.5, alpha=0.1, color="green", label="Рівновага")
ax1.axvspan(3.5, 8.0, alpha=0.1, color="red", label="Дисоціація")

# 2. Zoom навколо мінімуму
ax2 = fig.add_subplot(gs[1, 0])
mask = (distances >= 0.8) & (distances <= 2.5)
ax2.plot(distances[mask], E_rhf[mask], "b-", linewidth=2.5, label="RHF")
ax2.plot(distances[mask], E_uhf[mask], "r--", linewidth=2.5, label="UHF")
ax2.plot(distances[mask], E_fci[mask], "g-.", linewidth=2.5, label="FCI")

ax2.set_xlabel("R (bohr)", fontsize=12)
ax2.set_ylabel("E (Ha)", fontsize=12)
ax2.set_title("Zoom: область рівноваги", fontsize=13, fontweight="bold")
ax2.grid(True, alpha=0.3)
ax2.legend(fontsize=10)

# 3. Zoom дисоціація

```

2. Метод Хартрі-Фока для діатомних молекул

```
ax3 = fig.add_subplot(gs[1, 1])
mask = (distances >= 3.5) & (distances <= 8.0)
ax3.plot(distances[mask], E_rhf[mask], "b-", linewidth=2.5, label="RHF")
ax3.plot(distances[mask], E_uhf[mask], "r--", linewidth=2.5, label="UHF")
ax3.plot(distances[mask], E_fci[mask], "g-.", linewidth=2.5, label="FCI")
ax3.axhline(E_2H, color="black", linestyle=":", linewidth=2, alpha=0.6)

ax3.set_xlabel("R (bohr)", fontsize=12)
ax3.set_ylabel("E (Ha)", fontsize=12)
ax3.set_title("Zoom: дисоціація", fontsize=13, fontweight="bold")
ax3.grid(True, alpha=0.3)
ax3.legend(fontsize=10)

# Анотації
ax3.annotate(
    "RHF → H2 + H\n(неправильно!)",
    xy=(7, E_rhf[-1]),
    xytext=(6, -0.8),
    arrowprops=dict(arrowstyle="->", color="blue", lw=2),
    fontsize=11,
    color="blue",
    fontweight="bold",
    bbox=dict(boxstyle="round", facecolor="wheat", alpha=0.7),
)

ax3.annotate(
    "UHF, FCI → 2H\n(правильно)",
    xy=(7, E_uhf[-1]),
    xytext=(5.5, -1.05),
    arrowprops=dict(arrowstyle="->", color="green", lw=2),
    fontsize=11,
    color="green",
    fontweight="bold",
    bbox=dict(boxstyle="round", facecolor="lightgreen", alpha=0.7),
)

# 4. Кореляційна енергія
ax4 = fig.add_subplot(gs[2, 0])
E_corr_rhf = (E_fci - E_rhf) * 1000 # mHa
E_corr_uhf = (E_fci - E_uhf) * 1000

ax4.plot(distances, E_corr_rhf, "b-", linewidth=2.5, label="E_{corr} (FCI - RHF)")
ax4.plot(distances, E_corr_uhf, "r--", linewidth=2.5, label="E_{corr} (FCI - UHF)")
ax4.axhline(0, color="black", linestyle=":", linewidth=1, alpha=0.5)

ax4.set_xlabel("R (bohr)", fontsize=12)
ax4.set_ylabel("Кореляційна енергія (mHa)", fontsize=12)
ax4.set_title("Кореляційна енергія", fontsize=13, fontweight="bold")
ax4.grid(True, alpha=0.3)
ax4.legend(fontsize=10)

# 5. Спінове забруднення
ax5 = fig.add_subplot(gs[2, 1])
ax5.plot(distances, s2_uhf, "purple", linewidth=2.5, marker="o", markersize=4)
ax5.axhline(0.0, color="green", linestyle="--", linewidth=2, label="Синглєт")
ax5.axhline(2.0, color="red", linestyle="--", linewidth=2, label="Триплєт")
ax5.fill_between(distances, 0, s2_uhf, alpha=0.3, color="orange")

ax5.set_xlabel("R (bohr)", fontsize=12)
ax5.set_ylabel("S2 (UHF)", fontsize=12)
ax5.set_title("Спінове забруднення", fontsize=13, fontweight="bold")
ax5.grid(True, alpha=0.3)
ax5.legend(fontsize=10)
ax5.set_ylim([-0.2, 2.3])
```

```

plt.suptitle(
    "Повне порівняння методів для дисоціації H$_2$",
    fontsize=17,
    fontweight="bold",
    y=0.995,
)

plt.savefig("h2_complete_comparison.png", dpi=300, bbox_inches="tight")
print("\nГрафіки збережено: h2_complete_comparison.png")
plt.show()

# Збереження даних
np.savez(
    "h2_methods_comparison.npz",
    distances=distances,
    E_rhf=E_rhf,
    E_uhf=E_uhf,
    E_fci=E_fci,
    s2_uhf=s2_uhf,
)
print("Дані збережено: h2_methods_comparison.npz")

# Підсумкова таблиця
print("\n" + "=" * 70)
print("ПІДСУМКОВА ТАБЛИЦЯ (для LaTeX):")
print("=" * 70)
print(r"\begin{tabular}{lcccc}")
print(r"\toprule")
print(r"Метод & $R_e$ (bohr) & $E(R_e)$ (Ha) & $D_e$ (eV) & $E(R \rightarrow \infty)$ (Ha) \\")
print(r"\midrule")
for method, data in methods_data.items():
    print(
        f"{method} & {data['R_e']:.3f} & {data['E_min']:.4f} & "
        f"{data['D_e'] * 27.2114:.2f} & {data['E_dissoc']:.4f} \\\\""
    )
print(r"\midrule")
print(r"Експеримент & 1.401 & --- & 4.75 & -$1.000$ \\")
print(r"\bottomrule")
print(r"\end{tabular}")
print("=" * 70)

```

Графік (рис. 2.3) показує:

- **Точний розв'язок** (Full CI) — монотонна крива
- **RHF** — завищена енергія при $R > 2.5$ bohr
- **UHF** — правильна асимптотика, але забруднений спін
- **ROHF** — між RHF та UHF (не показано, складніший)

2.4.4. Відсутність кореляції як джерело проблеми

Фундаментальна причина — метод ХФ описує електрон-електронну взаємодію через **середнє поле**, ігноруючи миттєву кореляцію положень електронів.

Кореляційна енергія:

$$E_{\text{corr}}(R) = E_{\text{exact}}(R) - E_{\text{HF}}(R)$$

Повне порівняння методів для дисоціації H_2

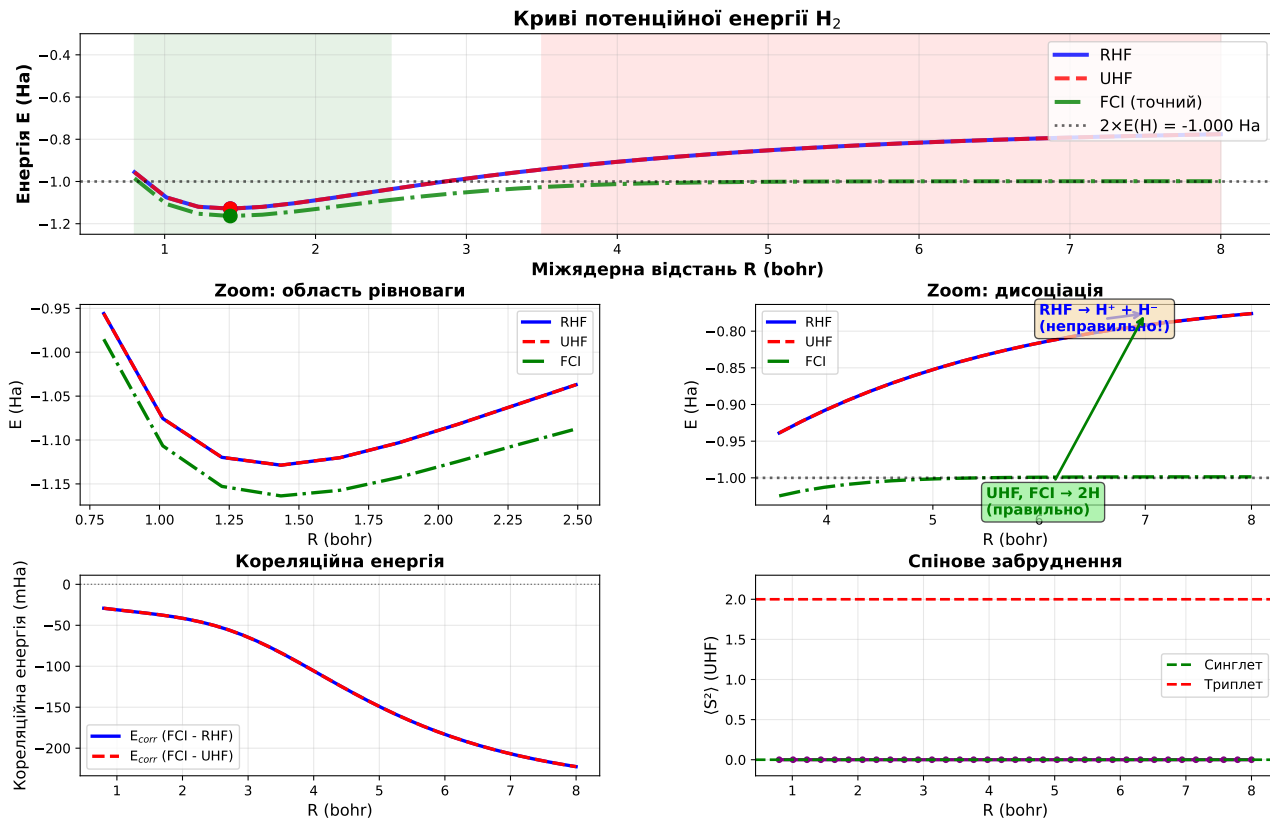


Рис. 2.3. Повне порівняння методів для молекули H_2 .

| R (bohr) | E_{corr} (mHa) | % від D_e |
|-----------------|------------------|-------------|
| 1.4 (рівновага) | 41 | 9% |
| 3.0 | 85 | 18% |
| 5.0 | 150 | 32% |
| ∞ | 300 | — |

Висновок: Кореляція стає критичною при розриві зв'язків!

2.4.5. Завдання 1: Порівняння базисів

Побудуйте PES для H_2 у базисах STO-3G, 6-31G**, cc-pVDZ, cc-pVTZ. Порівняйте:

- Рівноважні відстані R_e
- Енергії дисоціації D_e
- Час обчислень

2.4.6. Завдання 2: Спінове забруднення

Для H_2 побудуйте графік $\langle S^2 \rangle(R)$ методом UHF. При якій відстані починається значне забруднення ($\Delta S^2 > 0.1$)?

2.4.7. Завдання 3: Інші диатомні молекули

Повторіть аналіз для:

- LiH — гетероядерна молекула
- N₂ — потрійний зв'язок
- F₂ — слабкий зв'язок

Чи зберігається проблема дисоціації?

2.5. Резюме

У цьому розділі ми детально вивчили найпростіші диатомні молекули:

- **H₂⁺**: Метод ХФ є точним (один електрон), демонструє техніки PES, оптимізації, аналізу MO
- **H₂**: Виявляє фундаментальну проблему RHF — некоректну дисоціацію через відсутність кореляції
- **UHF vs RHF**: UHF дає правильну асимптотику, але страждає від спінового забруднення
- **Кореляція**: Стасе критичною при розриві зв'язків, потребує пост-ХФ методів (CASCF, CCSD, CI)

Ключовий урок: Метод ХФ добре працює навколо рівноваги, але неадекватний для опису хімічних реакцій, де відбувається розрив/утворення зв'язків.

Література

Основна література

1. *Jensen F.* Introduction to Computational Chemistry. — 3rd ed. — Wiley, 2017. — 661 p. — ISBN 1118825993.
2. *Levine I. N.* Quantum Chemistry. — 7th ed. — Pearson, 2014. — 714 p. — ISBN 978-0321803450.

Додаткові посилання

1. Basis Sets. — URL: <https://gaussian.com/basissets/>.
2. *Ho M., Hernández-Perez J. M.* Evaluation of Gaussian Molecular Integrals. I Overlap Integrals // The Mathematica Journal. — 2012. — Vol. 14.
3. *Ho M., Hernández-Perez J. M.* Evaluation of Gaussian Molecular Integrals. II. Kinetic-Energy Integrals // The Mathematica Journal. — 2013. — Vol. 15.
4. *Ho M., Hernández-Perez J. M.* Evaluation of Gaussian Molecular Integrals. III. Nuclear-Electron Attraction Integrals // The Mathematica Journal. — 2014. — Vol. 16.
5. Simple Quantum Chemistry: Hartree-Fock in Python. — URL: <https://nznano.blogspot.com/2018/03/simple-quantum-chemistry-hartree-fock.html>.